

# 3D Transformationen

Folien zur Vorlesung am 14. + 21.06.2024

Mathematische Grundlagen von Computergrafik und Gestaltung  
(MKB2) + STEM1 (GMB1)

Hinweis: ergänzend zum Foliensatz findet man Videos und interaktive  
Übungen unter:

[3Blue1Brown: Linear Algebra: 3D transformations](#)

[Immersive Math Kapitel 6: Matrices](#)

# 3D Transformationsmatrizen

Matrix \* Vektor = Ein Vektor aus den Skalarprodukten der Zeilenvektoren mit dem Vektor

$$M\vec{x} = \vec{b}$$

$$\begin{bmatrix} m_{11} & m_{12} & m_{13} \\ m_{21} & m_{22} & m_{23} \\ m_{31} & m_{32} & m_{33} \end{bmatrix} \begin{pmatrix} x_1 \\ x_2 \\ x_3 \end{pmatrix} = \begin{pmatrix} b_1 \\ b_2 \\ b_3 \end{pmatrix}$$

$$\begin{bmatrix} m_{11} & m_{12} & m_{13} \\ m_{21} & m_{22} & m_{23} \\ m_{31} & m_{32} & m_{33} \end{bmatrix} \begin{pmatrix} x_1 \\ x_2 \\ x_3 \end{pmatrix} = \begin{pmatrix} m_{11}x_1 + m_{12}x_2 + m_{13}x_3 \\ m_{21}x_1 + m_{22}x_2 + m_{23}x_3 \\ m_{31}x_1 + m_{32}x_2 + m_{33}x_3 \end{pmatrix}$$

# Transformationsmatrizen

Erinnerung: Die Koordinaten eines Vektors sind als die Faktoren der Basisvektoren zu verstehen.

$$\vec{u} = \begin{pmatrix} 1 \\ 2 \\ 3 \end{pmatrix} = 1 \begin{pmatrix} 1 \\ 0 \\ 0 \end{pmatrix} + 2 \begin{pmatrix} 0 \\ 1 \\ 0 \end{pmatrix} + 3 \begin{pmatrix} 0 \\ 0 \\ 1 \end{pmatrix}$$

Multipliziert man die Matrix mit den Basisvektoren ergeben sich die Spalten der Matrix.

Das gilt auch in 3D.

$$\begin{bmatrix} m_{11} & m_{12} & m_{13} \\ m_{21} & m_{22} & m_{23} \\ m_{31} & m_{32} & m_{33} \end{bmatrix} \begin{pmatrix} 1 \\ 0 \\ 0 \end{pmatrix} = \begin{pmatrix} m_{11} \\ m_{21} \\ m_{31} \end{pmatrix}$$

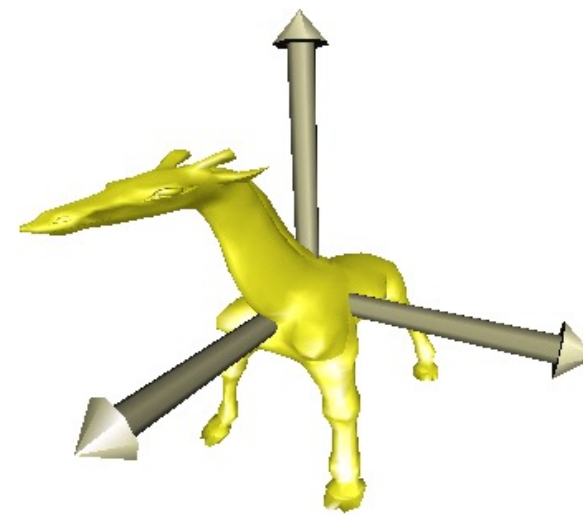
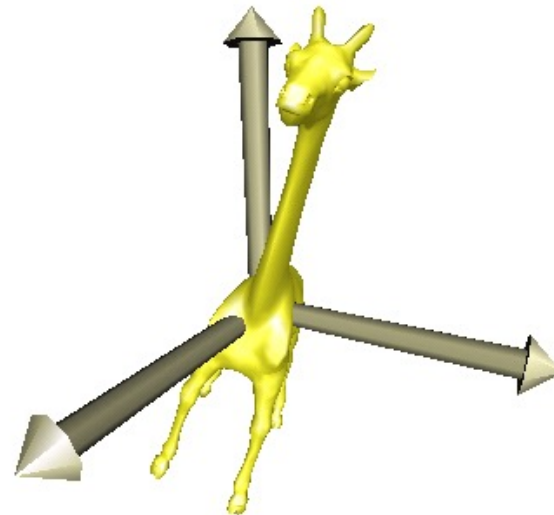
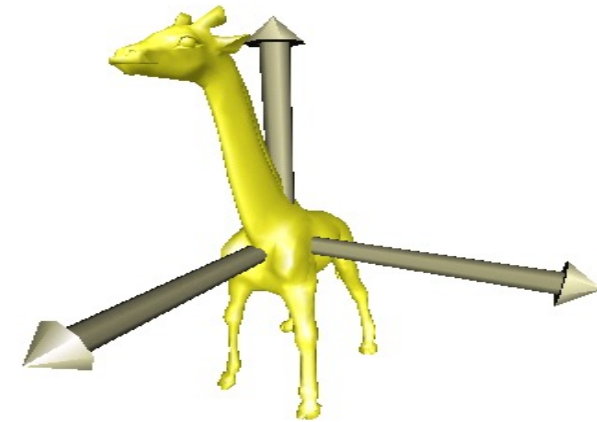
$$\begin{bmatrix} m_{11} & m_{12} & m_{13} \\ m_{21} & m_{22} & m_{23} \\ m_{31} & m_{32} & m_{33} \end{bmatrix} \begin{pmatrix} 0 \\ 1 \\ 0 \end{pmatrix} = \begin{pmatrix} m_{12} \\ m_{22} \\ m_{32} \end{pmatrix}$$

$$\begin{bmatrix} m_{11} & m_{12} & m_{13} \\ m_{21} & m_{22} & m_{23} \\ m_{31} & m_{32} & m_{33} \end{bmatrix} \begin{pmatrix} 0 \\ 0 \\ 1 \end{pmatrix} = \begin{pmatrix} m_{13} \\ m_{23} \\ m_{33} \end{pmatrix}$$

# Transformationen

## Transformation + relative Koordinaten

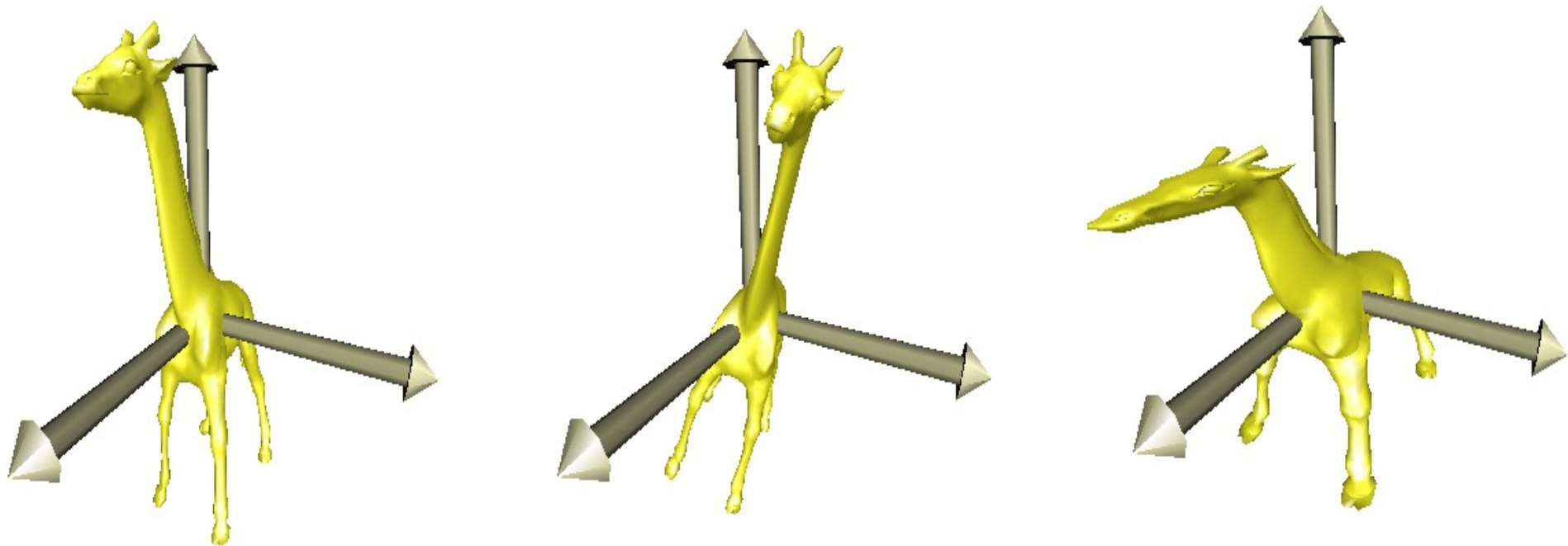
- Rotation
- Skalierung
- Scherung (ohne Abbildung)



# Skalierung, Scherung, Rotation

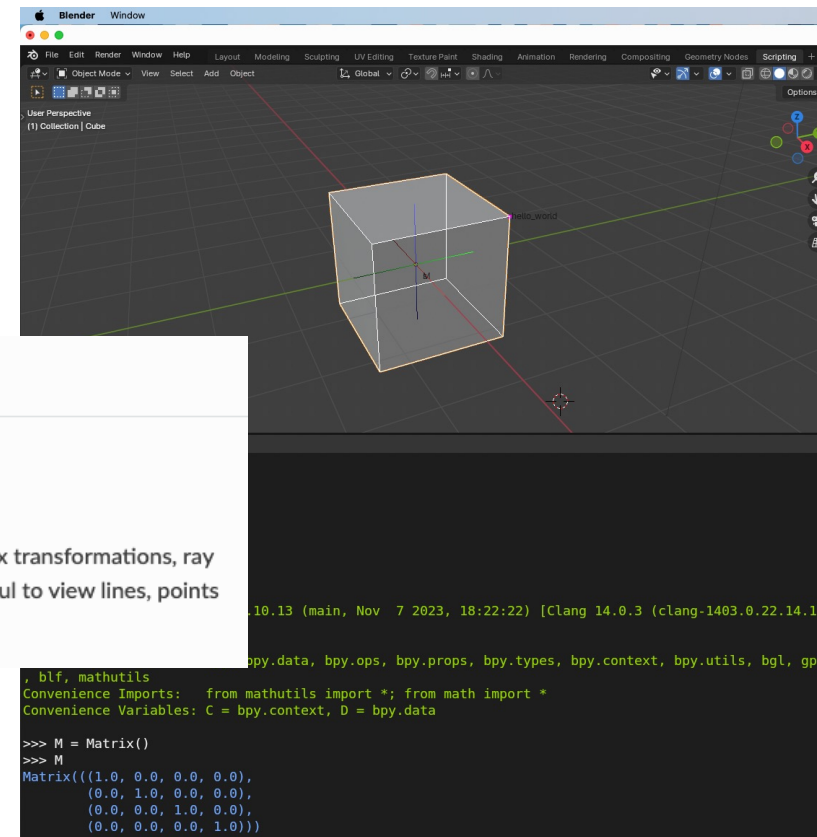
Die Transformationen Skalierung, Scherung, Rotation lassen den Ursprung unverändert.

- Es sind lineare Transformationen.
- 3x3-Matrizen sind ausreichend.



# Homogene Koordinaten

In der Computergrafik arbeitet man mit 4x4 Matrizen und 4-dimensionalen Vektoren.



The image shows a Blender 2.80.1 interface. The top part is the 3D viewport showing a cube in a perspective view. The bottom part is a console window with the following content:

```

10.13 (main, Nov 7 2023, 18:22:22) [Clang 14.0.3 (clang-1403.0.22.14.1)
bpy.data, bpy.ops, bpy.props, bpy.types, bpy.context, bpy.utils, bgl, gpu
, blf, mathutils
Convenience Imports: from mathutils import *; from math import *
Convenience Variables: C = bpy.context, D = bpy.data

>>> M = Matrix()
>>> M
Matrix(((1.0, 0.0, 0.0, 0.0),
(0.0, 1.0, 0.0, 0.0),
(0.0, 0.0, 1.0, 0.0),
(0.0, 0.0, 0.0, 1.0)))

```

[Home](#) / [Add-ons](#) / [3D View](#) / [Math Vis Console](#)

## Math Vis Console

Sometimes when writing Python scripts you stumble on complicated matrix transformations, ray intersections, rotation conversions, mesh modifications, etc. where its useful to view lines, points and matrices in the viewport to better understand the problem.

# Translationen

Wie beschreiben wir die Verschiebung (Translation) eines Punkts im Raum?

2D Translation als Matrix-Vektor-Multiplikation?

$$x' = x + t_x$$

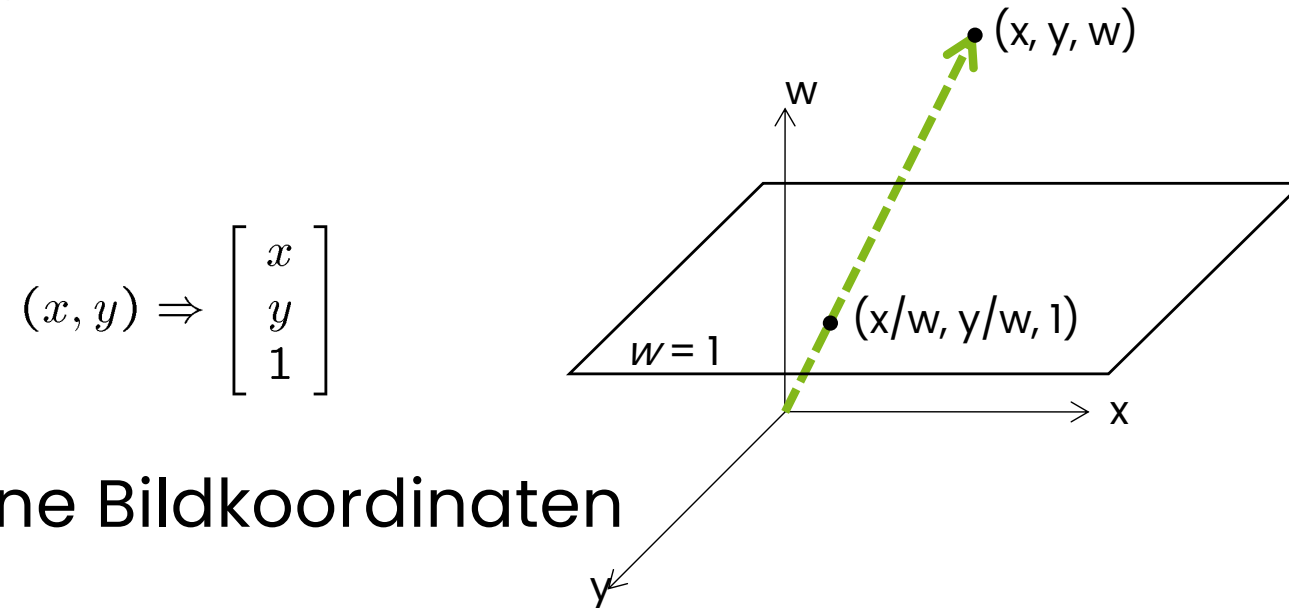
$$y' = y + t_y$$

**Nein!**

Die Translation ist keine lineare Operation auf 2D Koordinaten.

# Homogene Koordinaten

**Trick:** Wir fügen eine weitere Koordinate ein...



$$(x, y) \Rightarrow \begin{bmatrix} x \\ y \\ 1 \end{bmatrix}$$

Homogene Bildkoordinaten

Rückkonvertierung *aus* homogenen  
Koordinaten

$$\begin{bmatrix} x \\ y \\ w \end{bmatrix} \Rightarrow (x/w, y/w)$$

# Translation

Problem: Die Translation ist keine lineare Transformation im 2D.

Lösung: homogene Koordinaten verwenden

$$\mathbf{T} = \begin{bmatrix} 1 & 0 & t_x \\ 0 & 1 & t_y \\ 0 & 0 & 1 \end{bmatrix}$$

$$\begin{bmatrix} 1 & 0 & t_x \\ 0 & 1 & t_y \\ 0 & 0 & 1 \end{bmatrix} \begin{bmatrix} x \\ y \\ 1 \end{bmatrix} = \begin{bmatrix} x + t_x \\ y + t_y \\ 1 \end{bmatrix}$$

# Translation

Problem: Die Translation ist auch keine lineare Transformation im **3D**.

Lösung: homogene Koordinaten verwenden

$$T = \begin{bmatrix} 1 & 0 & 0 & t_x \\ 0 & 1 & 0 & t_y \\ 0 & 0 & 1 & t_z \\ 0 & 0 & 0 & 1 \end{bmatrix}$$
$$\begin{bmatrix} 1 & 0 & 0 & t_x \\ 0 & 1 & 0 & t_y \\ 0 & 0 & 1 & t_z \\ 0 & 0 & 0 & 1 \end{bmatrix} \begin{pmatrix} x \\ y \\ z \\ 1 \end{pmatrix} = \begin{pmatrix} x + t_x \\ y + t_y \\ z + t_z \\ 1 \end{pmatrix}$$

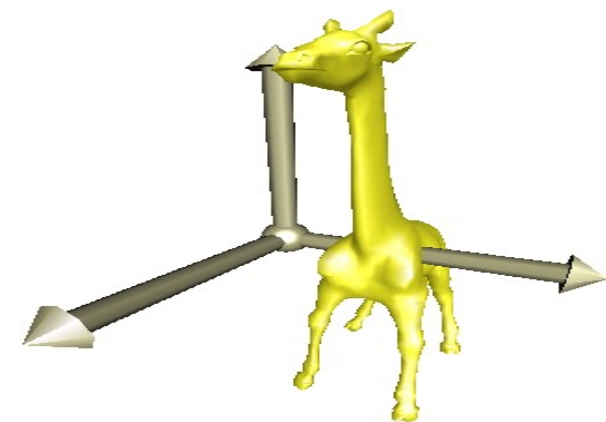
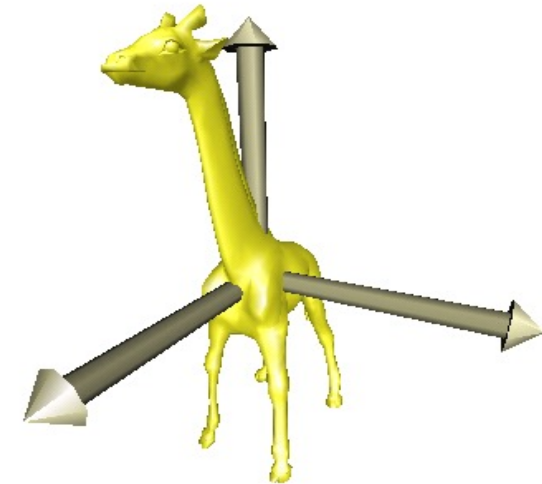
# Translation

Translationen sind affine Transformationen

- Der lineare Teil einer Translation  $T$  ist die Identität
- Man verwendet eine  $4 \times 4$ -Matrix zur Beschreibung einer Translation um den

Vektor  $\begin{pmatrix} x_0 \\ y_0 \\ z_0 \end{pmatrix}$

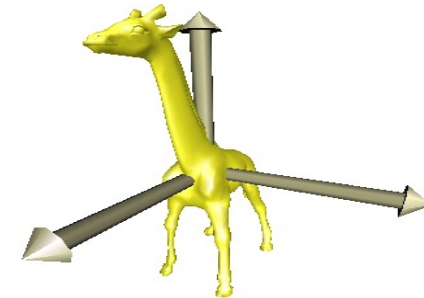
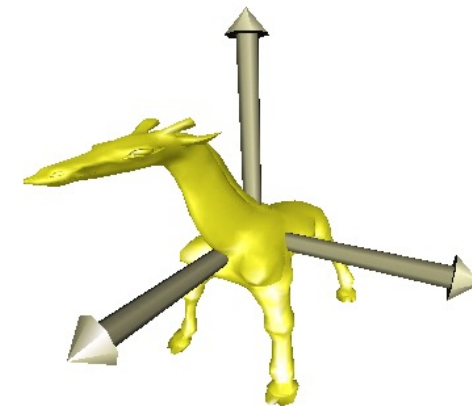
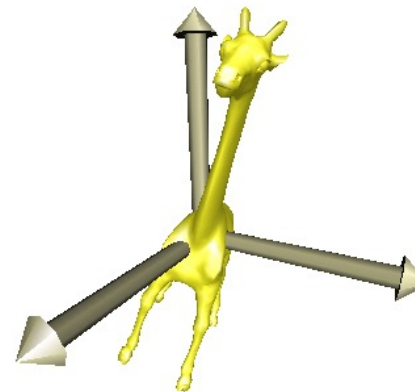
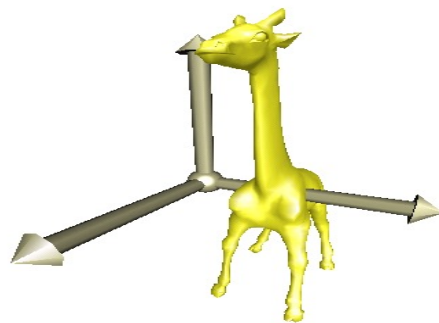
$$\begin{bmatrix} x' \\ y' \\ z' \\ 1 \end{bmatrix} = \begin{bmatrix} 1 & 0 & 0 & x_0 \\ 0 & 1 & 0 & y_0 \\ 0 & 0 & 1 & z_0 \\ 0 & 0 & 0 & 1 \end{bmatrix} \begin{bmatrix} x \\ y \\ z \\ 1 \end{bmatrix} = \begin{bmatrix} x + x_0 \\ y + y_0 \\ z + z_0 \\ 1 \end{bmatrix}$$



# Transformationen

## Transformation + relative Koordinaten

- Translation
- Rotation
- Skalierung
- Scherung (ohne Abbildung)



affine Transformationen

# Affine Transformation als 4x4-Matrix

Koordinatensystem ist problemabhängig

Affine Räume haben

- keine festen Ursprung
- keine festen Achsen

Lineare Transformation + additiver Term = affine Transformation

$$F(x, y, z) = \begin{bmatrix} a_{11} & a_{12} & a_{13} \\ a_{21} & a_{22} & a_{23} \\ a_{31} & a_{32} & a_{33} \end{bmatrix} \begin{bmatrix} x \\ y \\ z \end{bmatrix} + \begin{bmatrix} t_x \\ t_y \\ t_z \end{bmatrix}$$

Schreibweise mittels **4x4-Matrix**:

$$F(x, y, z, w) = \begin{bmatrix} a_{11} & a_{12} & a_{13} & t_x \\ a_{21} & a_{22} & a_{23} & t_y \\ a_{31} & a_{32} & a_{33} & t_z \\ 0 & 0 & 0 & 1 \end{bmatrix} \begin{bmatrix} x \\ y \\ z \\ w \end{bmatrix}$$

Rotation,  
Skalierung,  
Scherung,  
Spiegelung

Translation

# Affine Transformation als 4x4-Matrix

Schreibweise mittels **4x4-Matrix**:

$$F(x, y, z, w) = \begin{bmatrix} a_{11} & a_{12} & a_{13} & t_x \\ a_{21} & a_{22} & a_{23} & t_y \\ a_{31} & a_{32} & a_{33} & t_z \\ 0 & 0 & 0 & 1 \end{bmatrix} \begin{bmatrix} x \\ y \\ z \\ w \end{bmatrix}$$

Affine Abbildungen werden durch homogene 4x4 Matrizen beschrieben

- einheitliche Darstellung und einfache Implementierung
- Hintereinanderausführung verschiedener Transformationen  $F_i$
- nur Multiplikation der Matrizen

$$\begin{aligned} \vec{x}_1 &= F_1 \cdot \vec{x} \\ \vec{x}_2 &= F_2 \cdot \vec{x}_1 \\ &\dots \\ \vec{x}_n &= F_n \cdot \vec{x}_{n-1} \end{aligned} \qquad \vec{x}_n = F_n \cdot \dots \cdot F_2 \cdot F_1 \cdot \vec{x}$$

# Homogene Koordinaten zur Unterscheidung von Punkt und Vektor in der Computergrafik

Koordinaten beschreiben Punkte.

Vektoren beschreiben eine Richtung und einen Betrag.

Punkt  $\neq$  Vektor

Punkt:

$$p = \begin{pmatrix} p_x \\ p_y \\ p_z \\ 1 \end{pmatrix}$$

Vektor:

$$\vec{v} = \begin{pmatrix} v_x \\ v_y \\ v_z \\ 0 \end{pmatrix}$$

Rechnen mit Matrizen funktioniert wie gewünscht.

# Homogene Koordinaten zur Unterscheidung von Punkt und Vektor in der Computergrafik

Punkt + Punkt =

undefiniert

Vektor + Vektor =

Vektor

Punkt + Vektor =

Punkt

Punkt - Punkt =

Vektor

Skalar \* Vektor =

Vektor

Skalar \* Punkt =

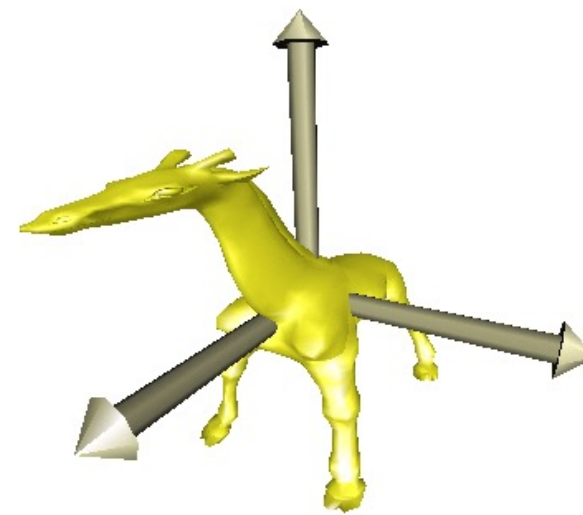
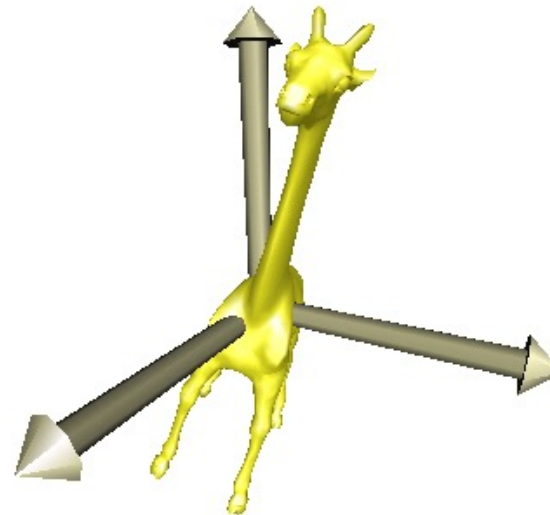
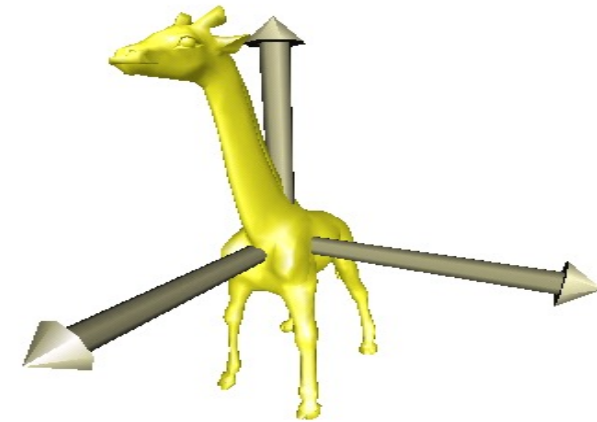
Punkt (wenn Skalar = 1), Vektor (wenn Skalar = 0),  
undefiniert (sonst)

**Punkt - Vektor Rechenregeln**

# Zurück zu den linearen Transformationen

## Lineare Transformationen

- Rotation
- Skalierung
- Scherung (ohne Abbildung)



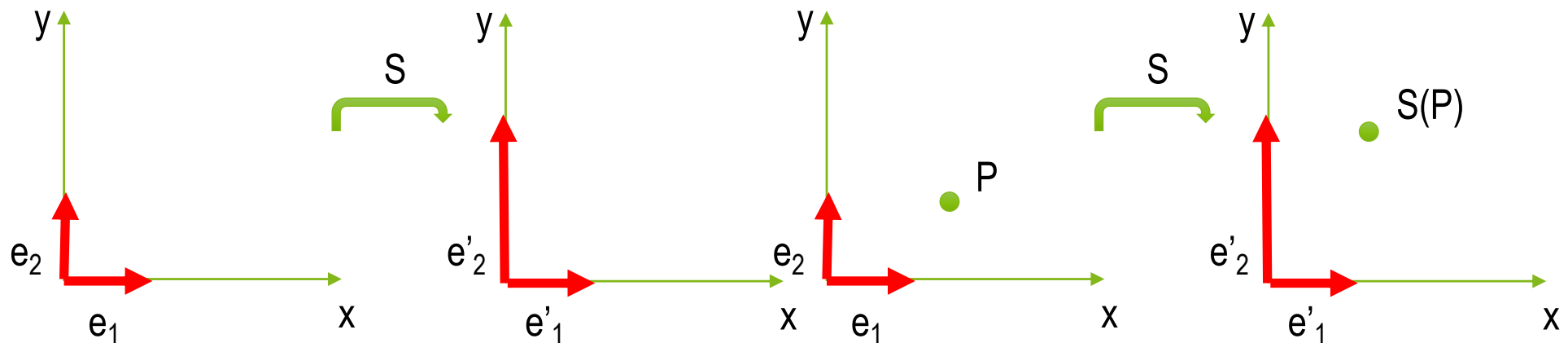
# Skalierung

Eine Skalierung  $S$  ergibt für die Basisvektoren:

- $S \begin{pmatrix} 1 \\ 0 \\ 0 \end{pmatrix} = \begin{pmatrix} s_1 \\ 0 \\ 0 \end{pmatrix}$
- $S \begin{pmatrix} 0 \\ 1 \\ 0 \end{pmatrix} = \begin{pmatrix} 0 \\ s_2 \\ 0 \end{pmatrix}$
- $S \begin{pmatrix} 0 \\ 0 \\ 1 \end{pmatrix} = \begin{pmatrix} 0 \\ 0 \\ s_3 \end{pmatrix}$

Skalierung eines Punkts  $\neq$  Skalarmultiplikation

Visualisierung für 2D



# Skalierung

Die zugehörige 3 x 3 Matrix ergibt sich daher als

$$\begin{pmatrix} s_1 & 0 & 0 \\ 0 & s_2 & 0 \\ 0 & 0 & s_3 \end{pmatrix}$$

Isotrope Skalierung vs.  
anisotrope Skalierung

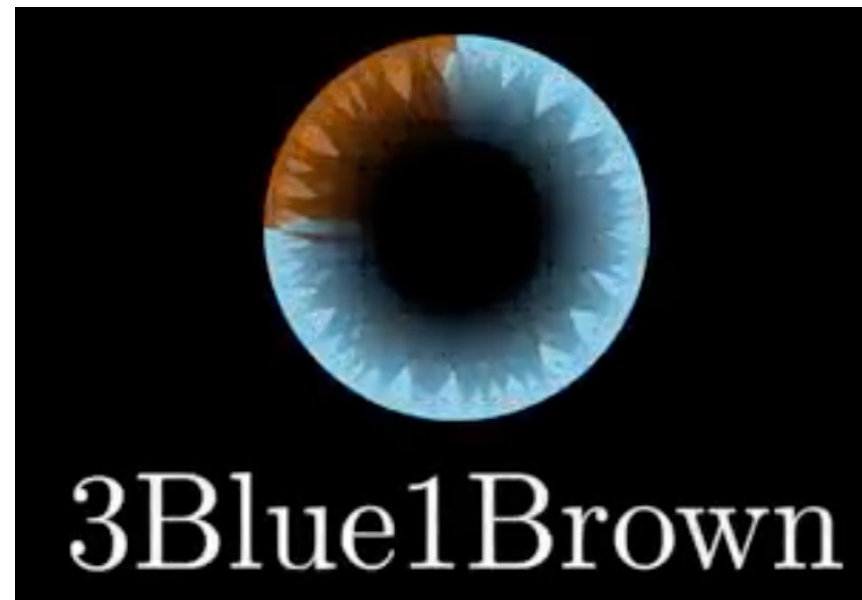
Wenn  $s_1 = s_2 = s_3 = s$  gilt, wird die gleiche Skalierung für alle Koordinatenachsen angewendet. Das nennt man isotrope Skalierung.

In homogenen Koordinaten sieht die 4x4 Matrix so aus:

$$\begin{bmatrix} x' \\ y' \\ z' \\ 1 \end{bmatrix} = \begin{bmatrix} s_1 & 0 & 0 & 0 \\ 0 & s_2 & 0 & 0 \\ 0 & 0 & s_3 & 0 \\ 0 & 0 & 0 & 1 \end{bmatrix} \begin{bmatrix} x \\ y \\ z \\ 1 \end{bmatrix}$$

## Einstieg am 21.6.

- Video über 3D Transformation als Wrap-Up.



# Scherung

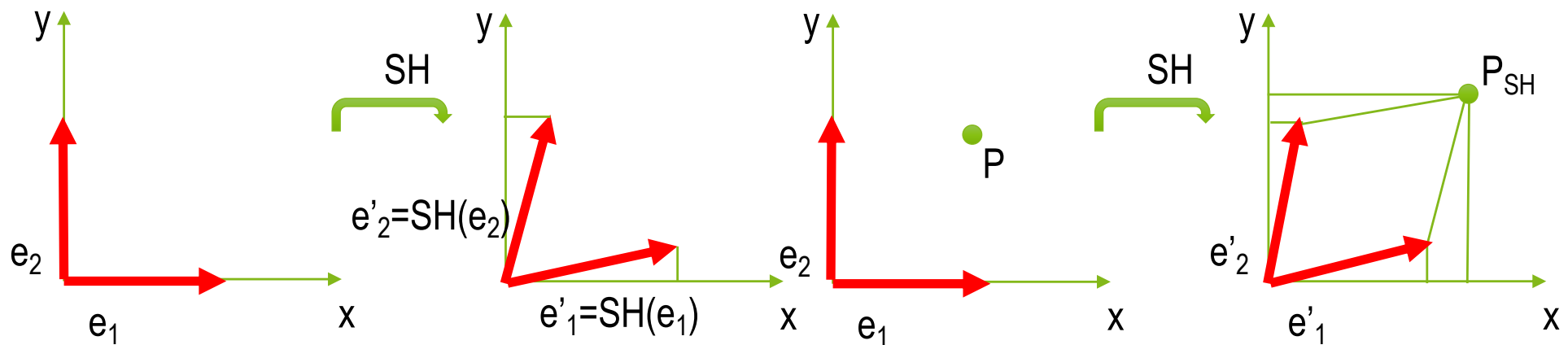
Eine Scherung SH ergibt für die Basisvektoren:

- $SH \begin{pmatrix} 1 \\ 0 \\ 0 \end{pmatrix} = \begin{pmatrix} 1 \\ s_1 \\ s_3 \end{pmatrix}$

- $SH \begin{pmatrix} 0 \\ 1 \\ 0 \end{pmatrix} = \begin{pmatrix} s_2 \\ 1 \\ s_4 \end{pmatrix}$

- $SH \begin{pmatrix} 0 \\ 0 \\ 1 \end{pmatrix} = \begin{pmatrix} s_5 \\ s_6 \\ 1 \end{pmatrix}$

$$\begin{pmatrix} 1 & s_2 & s_5 \\ s_1 & 1 & s_6 \\ s_3 & s_4 & 1 \end{pmatrix}$$



# Scherung

Die dazugehörige 3 x 3 Matrix wird daher zu

$$\begin{pmatrix} 1 & s_2 & s_5 \\ s_1 & 1 & s_6 \\ s_3 & s_4 & 1 \end{pmatrix}$$

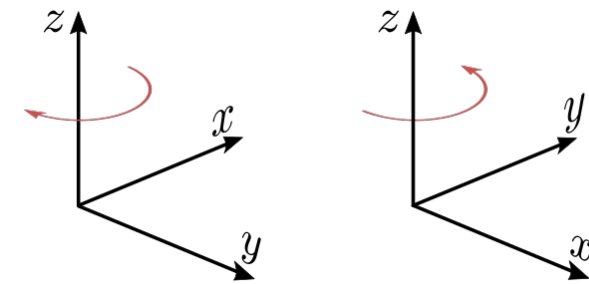
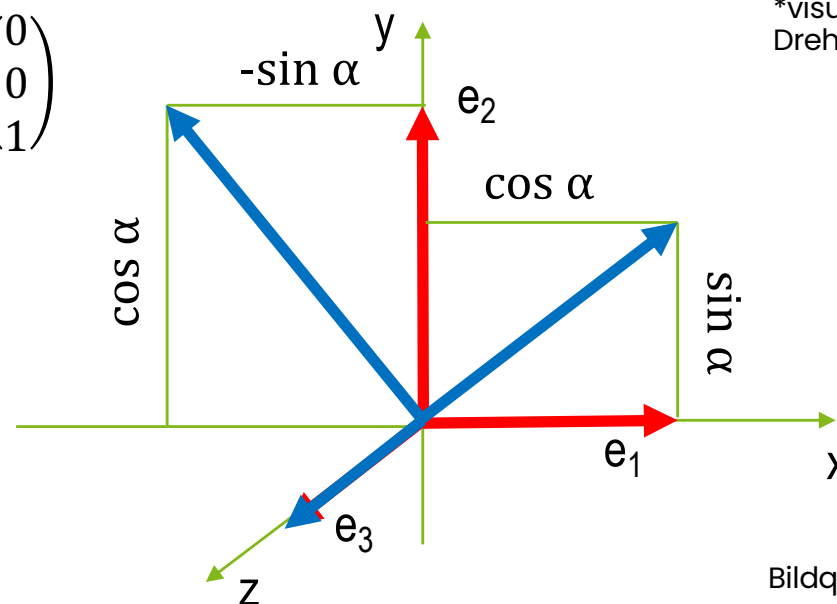
In homogenen Koordinaten schreibt man

$$\begin{bmatrix} x' \\ y' \\ z' \\ 1 \end{bmatrix} = \begin{bmatrix} 1 & s_2 & s_5 & 0 \\ s_1 & 1 & s_6 & 0 \\ s_3 & s_4 & 1 & 0 \\ 0 & 0 & 0 & 1 \end{bmatrix} \begin{bmatrix} x \\ y \\ z \\ 1 \end{bmatrix}$$

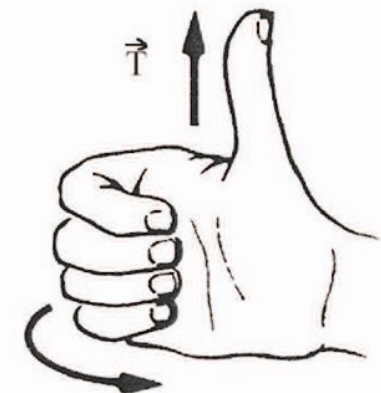
# Rotation

Eine Rotation  $R_\alpha$  um den Winkel  $\alpha$  um die  $z$ -Achse in *mathematisch positiver*\* Richtung ergibt für die Basisvektoren:

- $R_\alpha \begin{pmatrix} 1 \\ 0 \\ 0 \end{pmatrix} = \begin{pmatrix} \cos \alpha \\ \sin \alpha \\ 0 \end{pmatrix}$
- $R_\alpha \begin{pmatrix} 0 \\ 1 \\ 0 \end{pmatrix} = \begin{pmatrix} -\sin \alpha \\ \cos \alpha \\ 0 \end{pmatrix}$
- $R_\alpha \begin{pmatrix} 0 \\ 0 \\ 1 \end{pmatrix} = \begin{pmatrix} 0 \\ 0 \\ 1 \end{pmatrix}$



\*visuelle Darstellung der mathematisch positiven Drehrichtung, Bildquelle: [Wikipedia](https://de.wikipedia.org/wiki/Rechte-Hand-Regel)



Drehrichtung

Bildquelle: <https://lp.uni-goettingen.de/get/text/4940>

# Rotation

Die zugehörige 3 x 3 Matrix für die Rotation  $R_\alpha$ :

$$\begin{pmatrix} \cos \alpha & -\sin \alpha & 0 \\ \sin \alpha & \cos \alpha & 0 \\ 0 & 0 & 1 \end{pmatrix}$$

In homogenen Koordinaten ergeben sich für die Rotationen  $R_\alpha$  um die jeweiligen Achsen folgende Matrizen:

$$\begin{bmatrix} x' \\ y' \\ z' \\ 1 \end{bmatrix} = \begin{bmatrix} \cos \alpha & -\sin \alpha & 0 & 0 \\ \sin \alpha & \cos \alpha & 0 & 0 \\ 0 & 0 & 1 & 0 \\ 0 & 0 & 0 & 1 \end{bmatrix} \begin{bmatrix} x \\ y \\ z \\ 1 \end{bmatrix}$$

z-Achse

$$\begin{bmatrix} x' \\ y' \\ z' \\ 1 \end{bmatrix} = \begin{bmatrix} \cos \alpha & 0 & \sin \alpha & 0 \\ 0 & 1 & 0 & 0 \\ -\sin \alpha & 0 & \cos \alpha & 0 \\ 0 & 0 & 0 & 1 \end{bmatrix} \begin{bmatrix} x \\ y \\ z \\ 1 \end{bmatrix}$$

y-Achse

$$\begin{bmatrix} x' \\ y' \\ z' \\ 1 \end{bmatrix} = \begin{bmatrix} 1 & 0 & 0 & 0 \\ 0 & \cos \alpha & -\sin \alpha & 0 \\ 0 & \sin \alpha & \cos \alpha & 0 \\ 0 & 0 & 0 & 1 \end{bmatrix} \begin{bmatrix} x \\ y \\ z \\ 1 \end{bmatrix}$$

x-Achse

# Transformation zwischen Koordinatensystemen

Basisvektoren Translation

$$F(\mathbf{x}) = \begin{bmatrix} 2 & 0 & 0 & q_x \\ 0 & 1 & 0 & 0 \\ 0 & 0 & 1 & 0 \\ 0 & 0 & 0 & 1 \end{bmatrix} \cdot \mathbf{x}$$

Basisvektoren Translation

$$F(\mathbf{x}) = \begin{bmatrix} 0 & 0 & 1 & p_x - p_z \\ 0 & 1 & 0 & 0 \\ -1 & 0 & 0 & p_x + p_z \\ 0 & 0 & 0 & 1 \end{bmatrix} \cdot \mathbf{x}$$

Was kann ich der Transformationsmatrix ansehen?

- Ursprung des neuen Koord.-Systems
- Basisvektoren des neuen Koord.-Systems
- Länge der Basisvektoren  $\neq 1$   
→ Skalierung entlang der entsprechenden Achse
- ...
- Matrix-Dekomposition in Translation, Euler-Rotationen, Skalierung, ... möglich, aber nicht immer trivial (siehe [https://en.wikipedia.org/wiki/Matrix\\_decomposition](https://en.wikipedia.org/wiki/Matrix_decomposition))

# Zusammengesetzte Transformationen

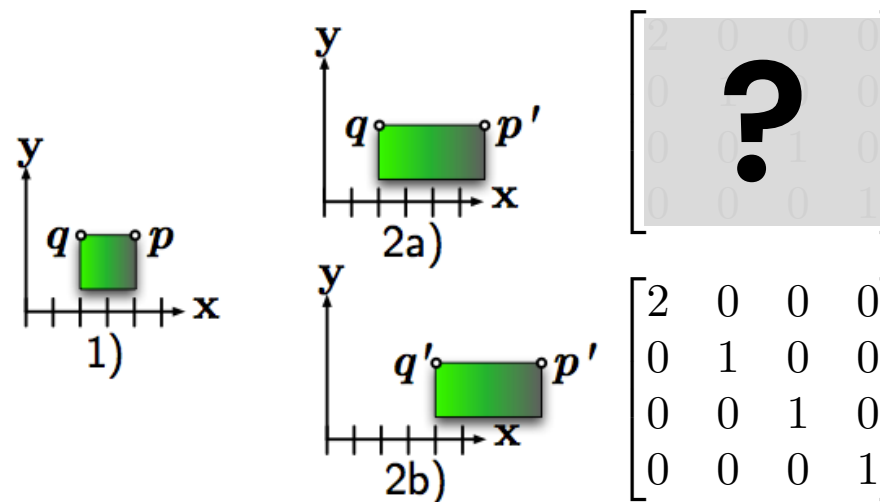
(englisch: Composite Transformations)

Was passiert, wenn mehrere Transformationen nacheinander  
ausgeführt werden?

# Zusammengesetzte Transformationen

## Motivation

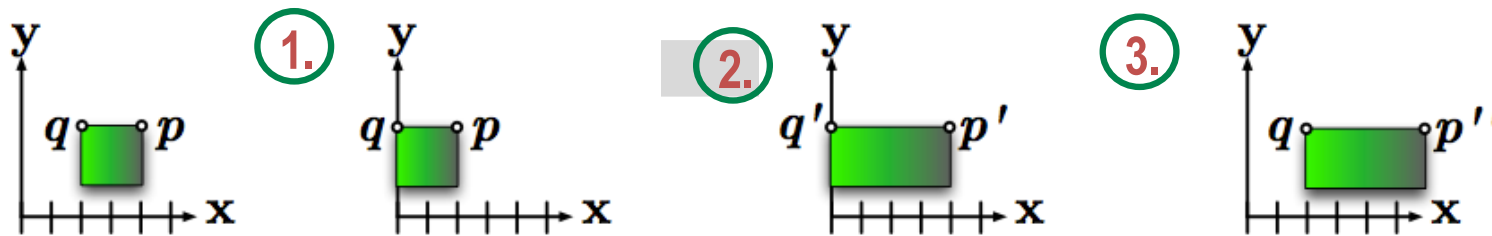
- Einfache Transformationen beziehen sich immer auf den Ursprung.
- In sehr vielen Fällen möchte man jedoch ein Objekt bzgl. eines bestimmten Fixpunktes oder einer Achse transformieren.
- Dafür bedient man sich zusammengesetzter Transformationen.



Objekt soll skaliert werden so wie in (2a) dargestellt.  
Skalierung (2b) verschiebt jedoch das Objekt!

# Skalierung um (2,1,1); obere linke Ecke q bleibt fest

1. Verschiebe alle Punkte um den Vektor  $(\mathbf{0} - \mathbf{q})$ 
  - Der Vektor  $(\mathbf{0} - \mathbf{q})$  schiebt den Fixpunkt in den Ursprung
  - In diesem Beispiel reicht es aus, nur die X-Koordinate zu verschieben.
2. Skaliere Objekt (alle Punkte) um gewünschte Größe
  - Bei Skalierung in x-Richtung bleiben Punkte mit  $x = 0$  unverändert!
3. Verschiebe alle Punkte um die additive Inverse  $(\mathbf{q} - \mathbf{0})$  des ursprünglichen Vektors



$$F(\mathbf{x}) = \begin{bmatrix} 1 & 0 & 0 & q_x \\ 0 & 1 & 0 & 0 \\ 0 & 0 & 1 & 0 \\ 0 & 0 & 0 & 1 \end{bmatrix} \cdot \begin{bmatrix} 2 & 0 & 0 & 0 \\ 0 & 1 & 0 & 0 \\ 0 & 0 & 1 & 0 \\ 0 & 0 & 0 & 1 \end{bmatrix} \cdot \begin{bmatrix} 1 & 0 & 0 & -q_x \\ 0 & 1 & 0 & 0 \\ 0 & 0 & 1 & 0 \\ 0 & 0 & 0 & 1 \end{bmatrix} \cdot \mathbf{x} = \begin{bmatrix} 2 & 0 & 0 & -q_x \\ 0 & 1 & 0 & 0 \\ 0 & 0 & 1 & 0 \\ 0 & 0 & 0 & 1 \end{bmatrix} \cdot \mathbf{x}$$

3.
2.
1.
zusammen

# „Lesart“ bei Matrix-Multiplikationen

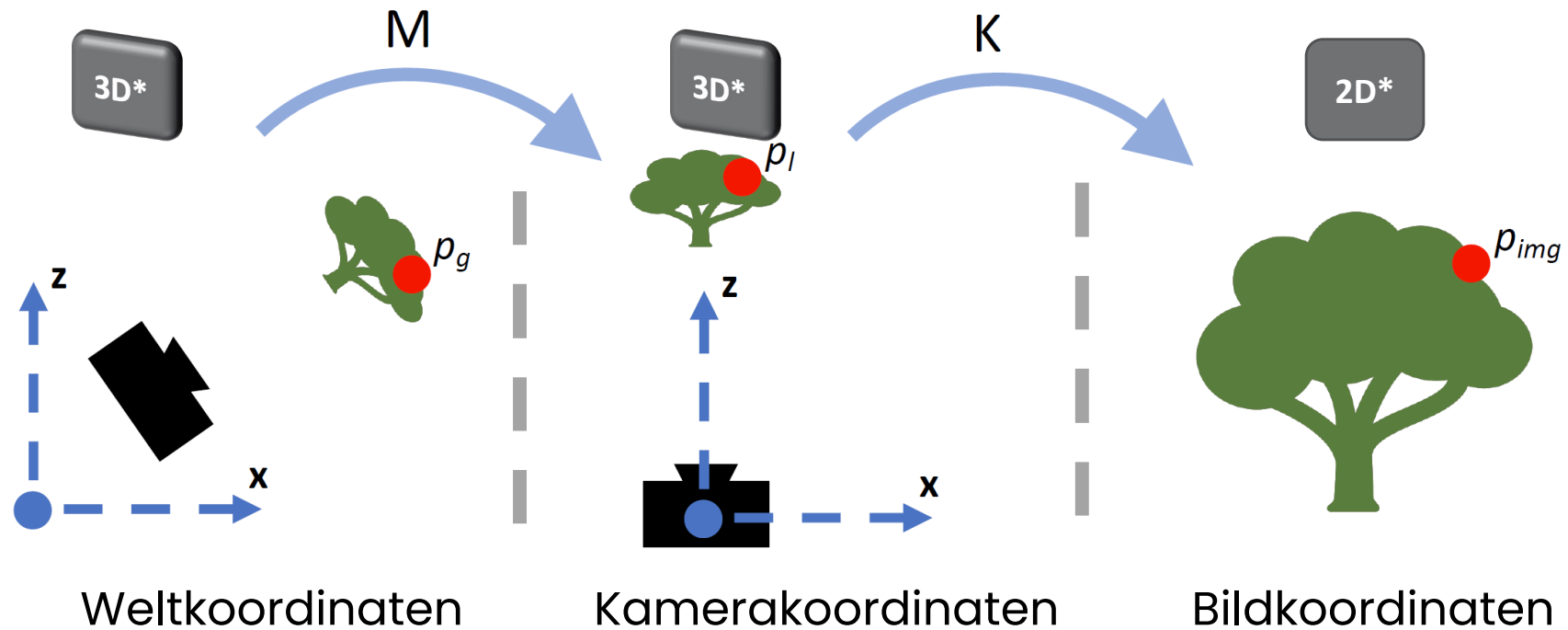
$$F(\mathbf{x}) = \begin{bmatrix} 1 & 0 & 0 & p_x \\ 0 & 1 & 0 & p_y \\ 0 & 0 & 1 & p_z \\ 0 & 0 & 0 & 1 \end{bmatrix} \cdot \left( \begin{bmatrix} \cos \frac{\pi}{2} & 0 & \sin \frac{\pi}{2} & 0 \\ 0 & 1 & 0 & 0 \\ -\sin \frac{\pi}{2} & 0 & \cos \frac{\pi}{2} & 0 \\ 0 & 0 & 0 & 1 \end{bmatrix} \cdot \left( \begin{bmatrix} 1 & 0 & 0 & -p_x \\ 0 & 1 & 0 & -p_y \\ 0 & 0 & 1 & -p_z \\ 0 & 0 & 0 & 1 \end{bmatrix} \cdot \mathbf{x} \right) \right)$$

## Transformation eines Punktes: rechts-nach-links

- Punkt steht rechts, Transformationen kommen immer von links hinzu
- Zur Verdeutlichung können Klammern gedacht werden
- Äquivalent: geschachtelte Funktionsaufrufe denken
  - `F(x) = translate( rotate( translate(x,-p), Y_AXIS, Math.PI/2), p);`
- Vorsicht bei objektorientierter Programmierung:
  - `F(x) = x.translate(-p).rotate(Y_AXIS, Math.Pi/2).translate(p);`

# Wie wendet man das in der Computergrafik an?

# Koordinatensysteme in der Fotografie



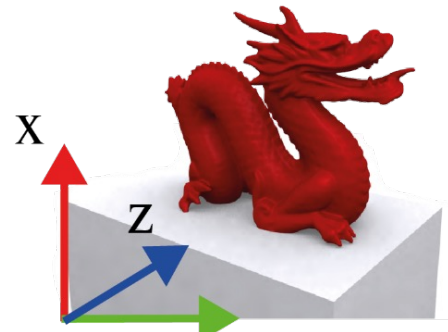
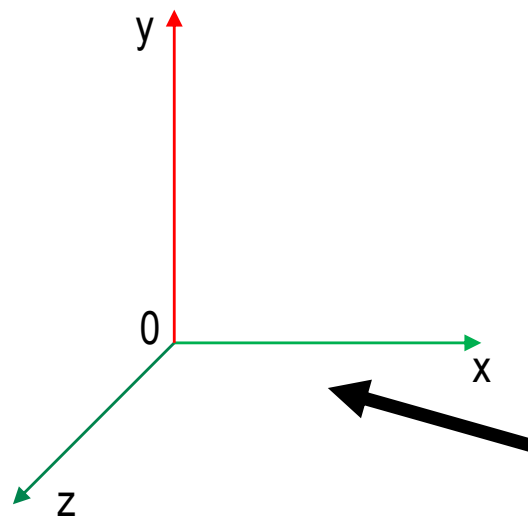
M und K sind Transformationsmatrizen

Frage: Warum das \* bei den Dimensionen?

Figure credit: [Peter Hedman](#)

# Modeling-Transformation in der Computergrafik

Weltkoordinatensystem



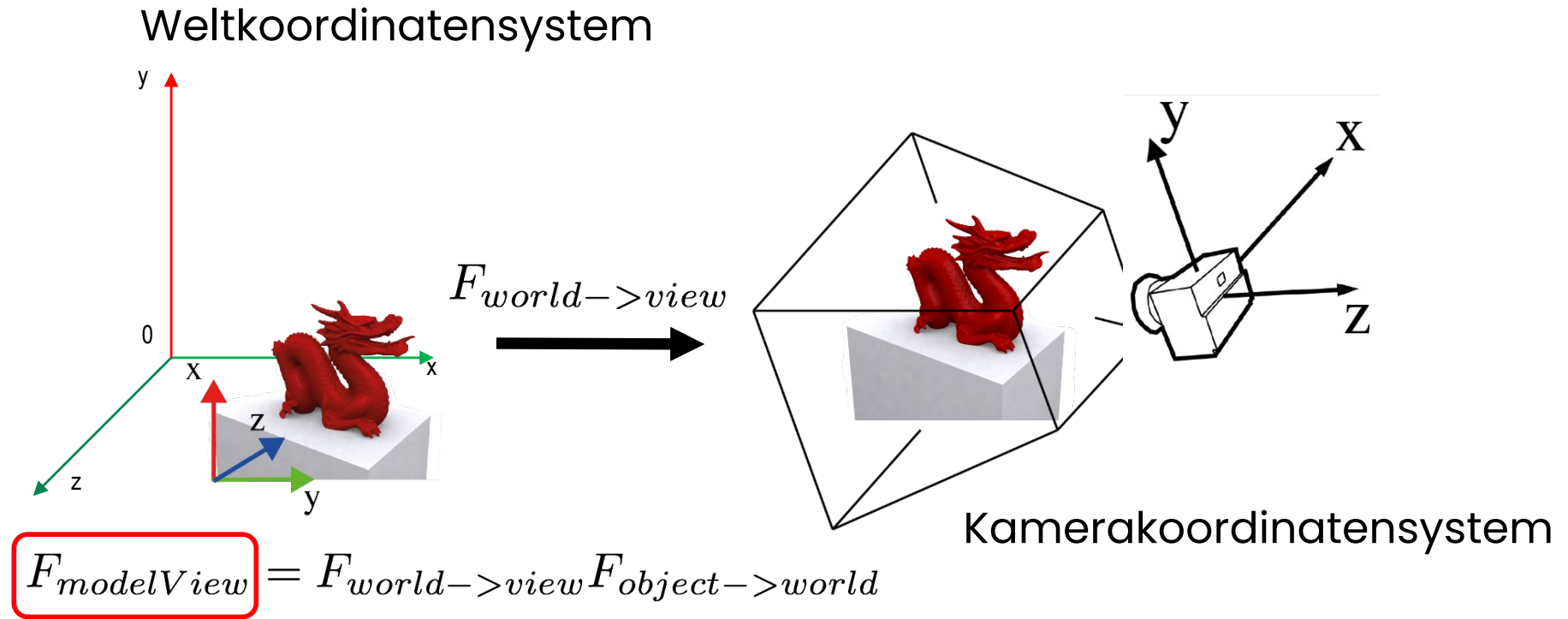
Objektkoordinatensystem

$$x_w = F \cdot x_o$$

$$x_w = F_3 \cdot F_2 \cdot F_1 \cdot x_o$$

zusammengesetzte  
Transformationen

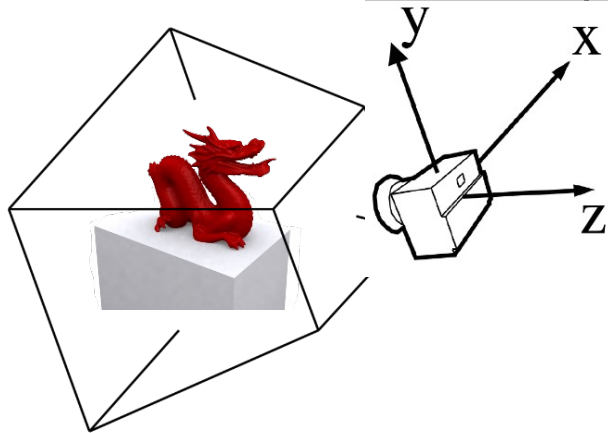
$$F(x, y, z, w) = \begin{bmatrix} a_{11} & a_{12} & a_{13} & t_x \\ a_{21} & a_{22} & a_{23} & t_y \\ a_{31} & a_{32} & a_{33} & t_z \\ 0 & 0 & 0 & 1 \end{bmatrix} \begin{bmatrix} x \\ y \\ z \\ w \end{bmatrix}$$



Wird häufig zur *Model-View-Matrix* zusammengefasst.

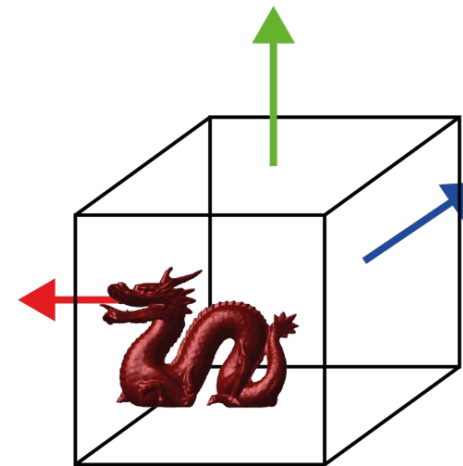
# Projektionstransformation in der Computergrafik

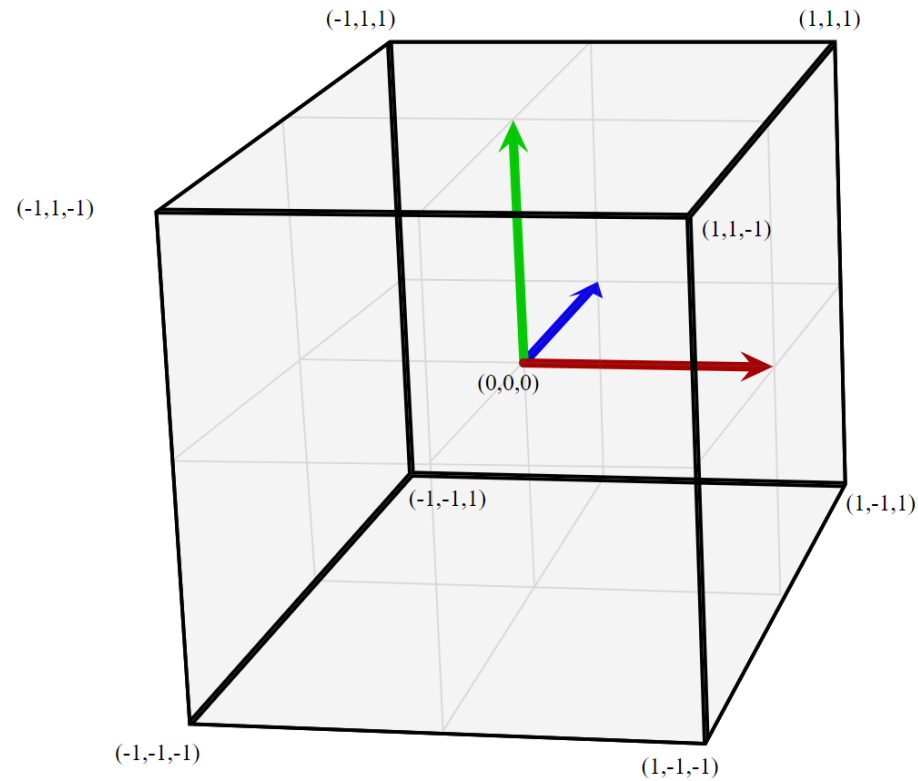
Kamerakoordinatensystem



$$F_{view \rightarrow clip}$$

Kanonisches Volumen

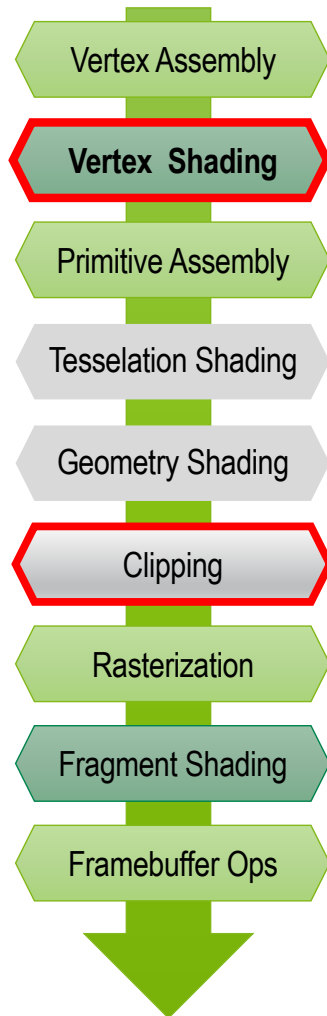




## Clip-space:

Ein im Ursprung zentrierter Würfel der Kantenlänge 2

# Details aus der Computergrafik: Viewport - Transformation

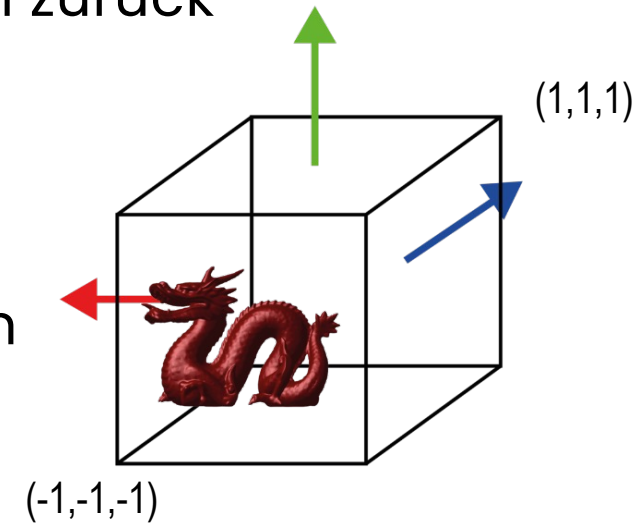


- Vertex-Shader liefert Position im kanonischen Volumen vor der perspektivischen Division zurück

- Clipping
- Perspektivische Division

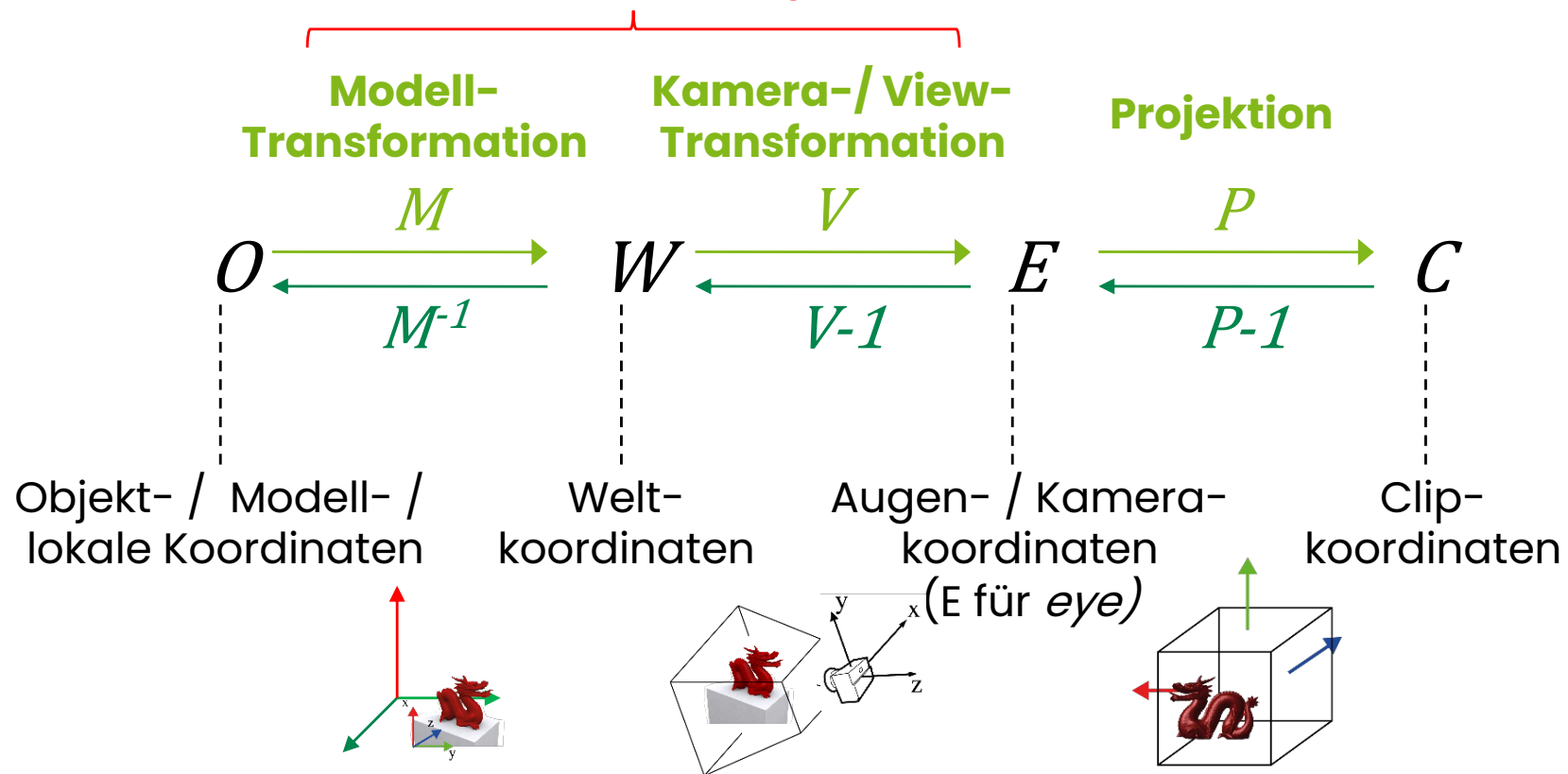
$$\begin{bmatrix} x' \\ y' \\ z' \\ 1 \end{bmatrix} = \frac{1}{w_c} \begin{bmatrix} x_c \\ y_c \\ z_c \\ w_c \end{bmatrix}$$

- Viewport-Transformation (Window-Koordinaten)



# Die Transformationskette von Modell- in Clipkoordinaten

Wird häufig zur *Model-View-Matrix* zusammengefasst



# Die Transformationskette von Modell- in Clipkoordinaten

Matrix-Kette

$$p' = P \cdot V \cdot M \cdot p$$

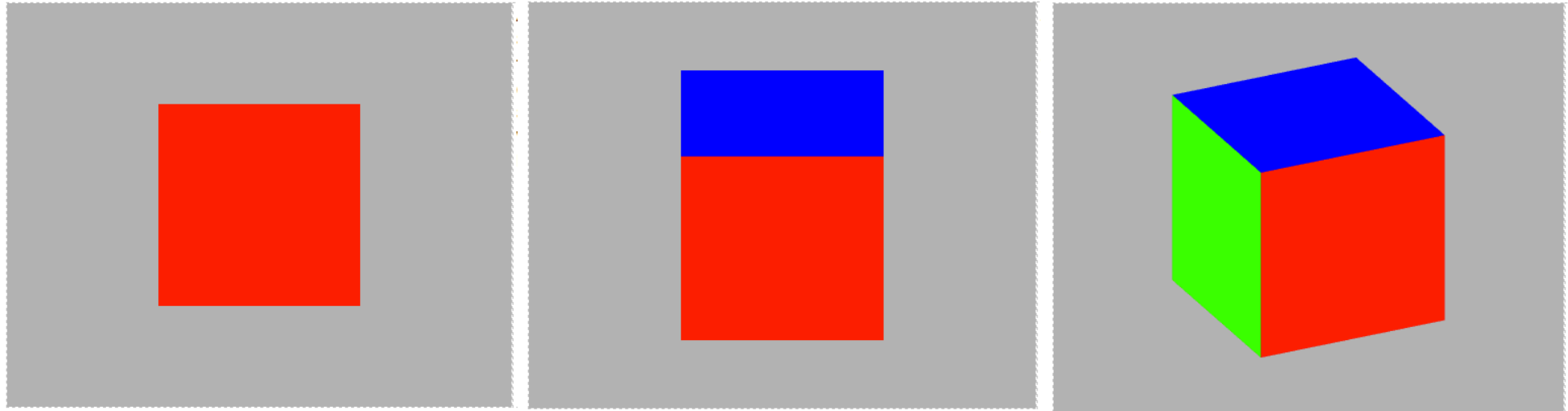
3.
2.
1.

Vertex in  
Clip-Koordinaten
Vertex in  
Modellkoordinaten

## Achtung Reihenfolge!

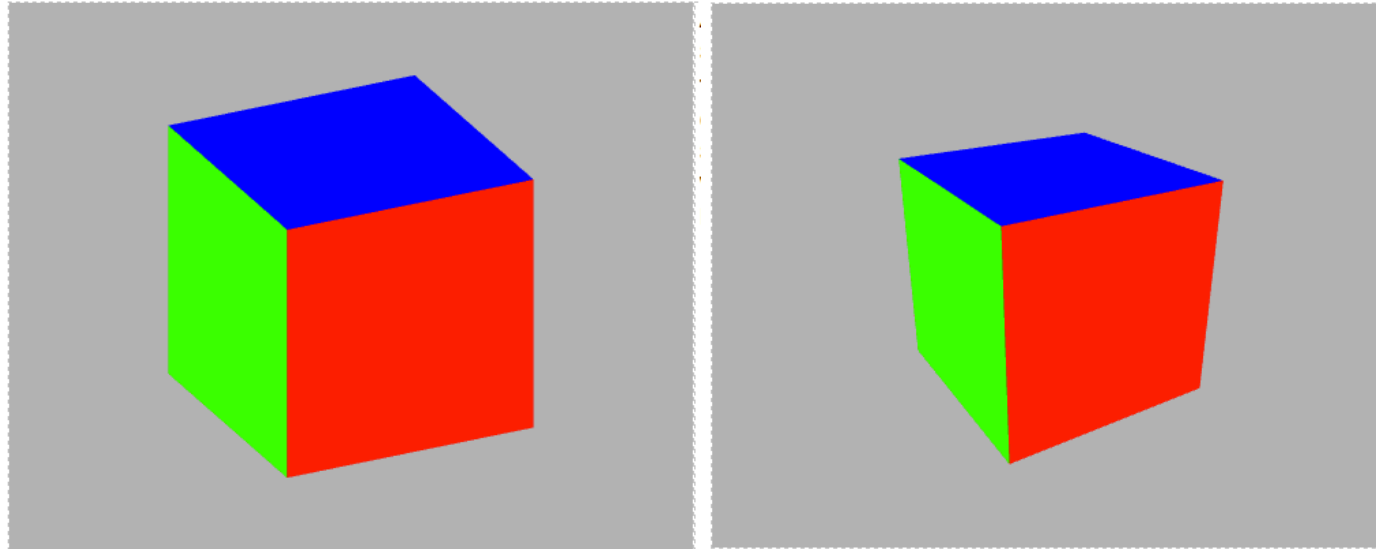
- Der zu transformierende **Vertex steht rechts**
- Die Transformationen werden der Reihe nach **von links multipliziert**
  - → von rechts nach links lesen

# Effekt der Model-View-Transformationsmatrix



Wer rotiert hier eigentlich, die Kamera oder die Szene?

- Die Modelview-Matrix ist **relative Transformation** zwischen zwei Koordinatensystemen
- Rotation der Szene entspricht *entgegengesetzter* Rotation der Kamera – die eine Transformation ist die **Inverse** der anderen



## Orthographische Projektion bzw. **Parallelprojektion**

- Parallele Linien bleiben parallel
- Entspricht eher einem Tele-Objektiv

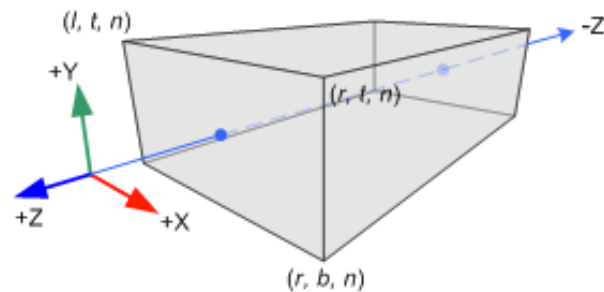
## Perspektivische Projektion bzw. **Zentralprojektion**

- „Schräge“ Projektion mit einem wählbaren Öffnungswinkel
- Stürzende Linien, ferne Objekte erscheinen kleiner
- Entspricht eher einem Weitwinkel-Objektiv

# Orthographische Projektion

Illustrationen von [Song Ho Ahn](#)

## Kamera-Koordinaten

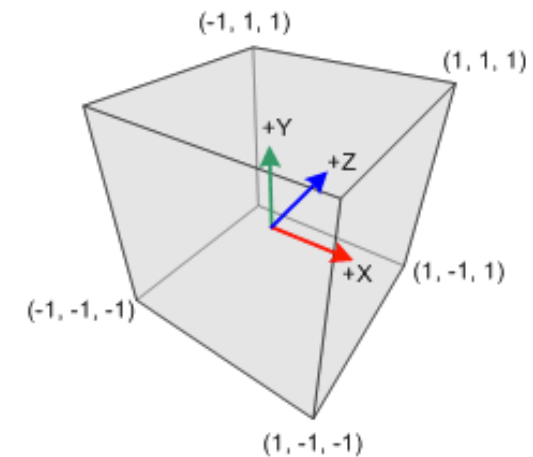


$$\begin{pmatrix} \frac{2}{r-l} & 0 & 0 & -\frac{r+l}{r-l} \\ 0 & \frac{2}{t-b} & 0 & -\frac{t+b}{t-b} \\ 0 & 0 & \frac{-2}{f-n} & -\frac{f+n}{f-n} \\ 0 & 0 & 0 & 1 \end{pmatrix}$$



## Projektionsmatrix

## Clip-Koordinaten

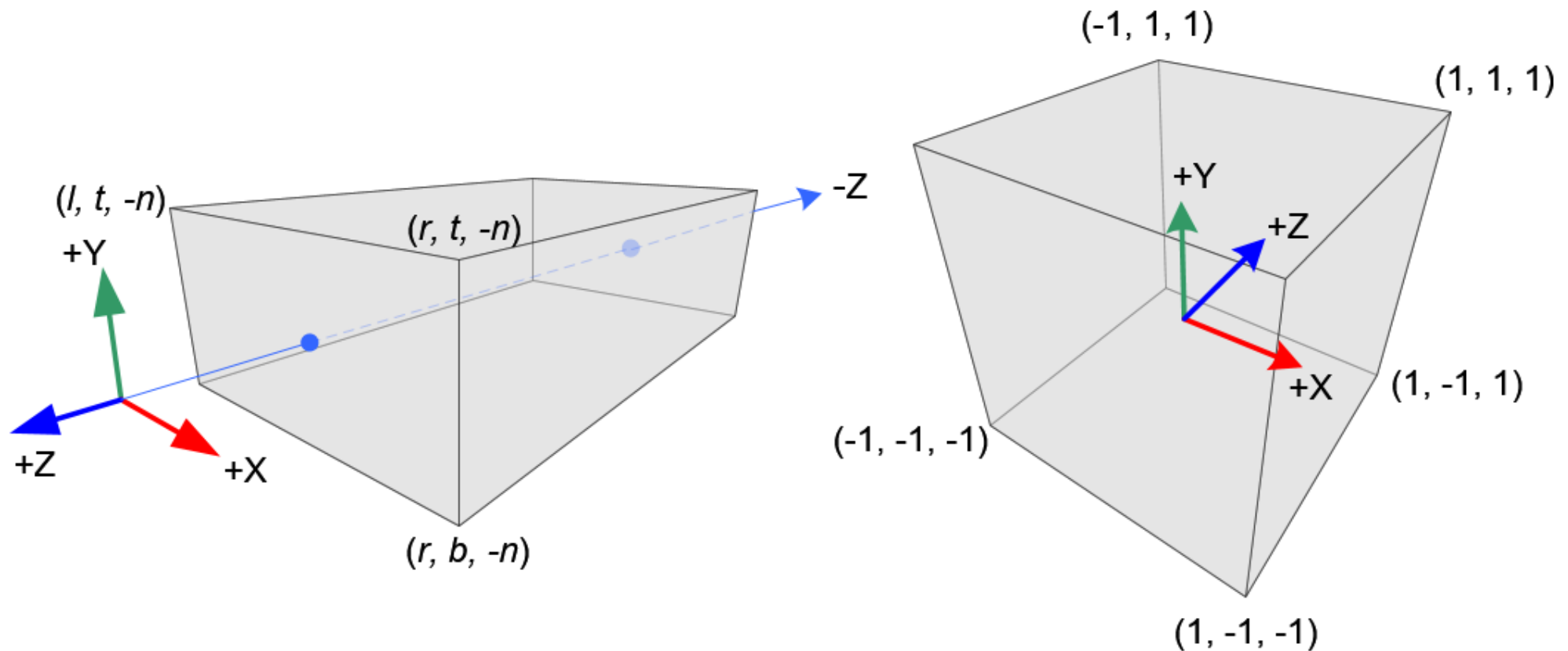


Im Code (hier three.js):

```
var camera = new THREE.OrthographicCamera(left,
right, top, bottom, near, far);
```

# Orthografische Projektion – Herleitung

Wir müssen einen Quader in einen Würfel überführen:

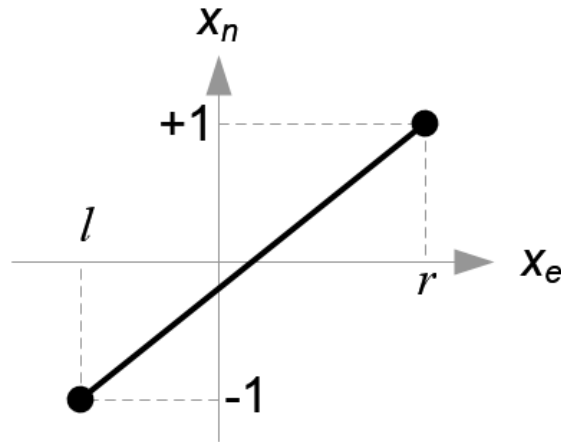


Also die Komponenten  $x_e, y_e, z_e$  (eye/camera space, links) in  $x_n, y_n, z_n$  (normalized clip space, rechts).

Illustrationen und Formeln von [Song Ho Ahn](#)

# Orthografische Projektion – Herleitung

Mapping von  $x_e$  nach  $x_n$ :



$$x_n = \frac{1 - (-1)}{r - l} \cdot x_e + \beta$$

$$1 = \frac{2r}{r - l} + \beta \quad (\text{substitute } (r, 1) \text{ for } (x_e, x_n))$$

$$\beta = 1 - \frac{2r}{r - l} = -\frac{r + l}{r - l}$$

$$\therefore x_n = \frac{2}{r - l} \cdot x_e - \frac{r + l}{r - l}$$

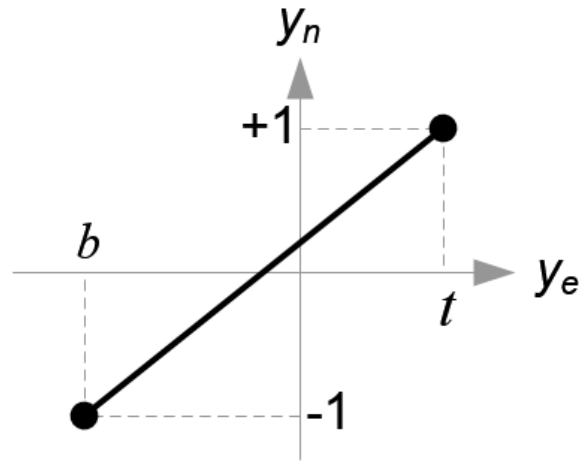
linearer Basisvektor  $\vec{x}_e = \begin{pmatrix} 1 \\ 0 \\ 0 \\ 0 \end{pmatrix} \rightarrow \vec{x}_n = \begin{pmatrix} \frac{2}{r-l} \\ 0 \\ 0 \\ 0 \end{pmatrix}$

additiver (homogener) Anteil:  $-\frac{r+l}{r-l} \rightarrow P_{ortho} = \begin{bmatrix} \frac{2}{r-l} & 0 & 0 & -\frac{r+l}{r-l} \\ 0 & ? & ? & ? \\ 0 & ? & ? & ? \\ ? & ? & ? & ? \end{bmatrix}$

Illustrationen und Formeln von [Song Ho Ahn](#)

# Orthografische Projektion – Herleitung

Mapping von  $y_e$  nach  $y_n$ :



$$y_n = \frac{1 - (-1)}{t - b} \cdot y_e + \beta$$

$$1 = \frac{2t}{t - b} + \beta \quad (\text{substitute } (t, 1) \text{ for } (y_e, y_n))$$

$$\beta = 1 - \frac{2t}{t - b} = -\frac{t + b}{t - b}$$

$$\therefore y_n = \frac{2}{t - b} \cdot y_e - \frac{t + b}{t - b}$$

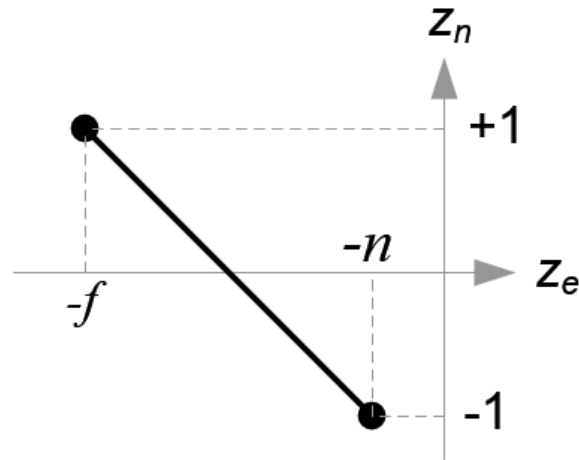
linearer Basisvektor  $\vec{y}_e = \begin{pmatrix} 0 \\ 1 \\ 0 \end{pmatrix} \rightarrow \vec{y}_n = \begin{pmatrix} 0 \\ \frac{2}{t-b} \\ 0 \end{pmatrix}$

additiver (homogener) Anteil:  $-\frac{t+b}{t-b} \rightarrow P_{ortho} = \begin{bmatrix} \frac{2}{r-l} & 0 & 0 & -\frac{r+l}{r-l} \\ 0 & \frac{2}{t-b} & 0 & -\frac{t+b}{t-b} \\ 0 & 0 & ? & ? \\ ? & ? & ? & ? \end{bmatrix}$

Illustrationen und Formeln von [Song Ho Ahn](#)

# Orthografische Projektion – Herleitung

Mapping von  $z_e$  nach  $z_n$ :



$$z_n = \frac{1 - (-1)}{-f - (-n)} \cdot z_e + \beta$$

$$1 = \frac{2f}{f - n} + \beta \quad (\text{substitute } (-f, 1) \text{ for } (z_e, z_n))$$

$$\beta = 1 - \frac{2f}{f - n} = -\frac{f + n}{f - n}$$

$$\therefore z_n = \frac{-2}{f - n} \cdot z_e - \frac{f + n}{f - n}$$

linearer Basisvektor  $\vec{z}_e = \begin{pmatrix} 0 \\ 0 \\ 1 \end{pmatrix} \rightarrow \vec{z}_n = \begin{pmatrix} 0 \\ 0 \\ -2 \\ f-n \end{pmatrix}$

additiver (homogener) Anteil:  $-\frac{t+b}{t-b} \rightarrow P_{ortho} = \begin{bmatrix} \frac{2}{r-l} & 0 & 0 & -\frac{r+l}{r-l} \\ 0 & \frac{2}{t-b} & 0 & -\frac{t+b}{t-b} \\ 0 & 0 & \frac{-2}{f-n} & -\frac{f+n}{f-n} \\ ? & ? & ? & ? \end{bmatrix}$

Illustrationen und Formeln von [Song Ho Ahn](#)

# Orthografische Projektion – Herleitung

Mapping von  $w_e$  nach  $w_n$ :

Es handelt sich um eine affine Transformation. Der homogene Teil bleibt also unverändert.

$$P_{ortho} = \begin{bmatrix} \frac{2}{r-l} & 0 & 0 & -\frac{r+l}{r-l} \\ 0 & \frac{2}{t-b} & 0 & -\frac{t+b}{t-b} \\ 0 & 0 & \frac{-2}{f-n} & -\frac{f+n}{f-n} \\ 0 & 0 & 0 & 1 \end{bmatrix}$$

Illustrationen und Formeln von [Song Ho Ahn](#)

# Orthografische Projektion in three.js

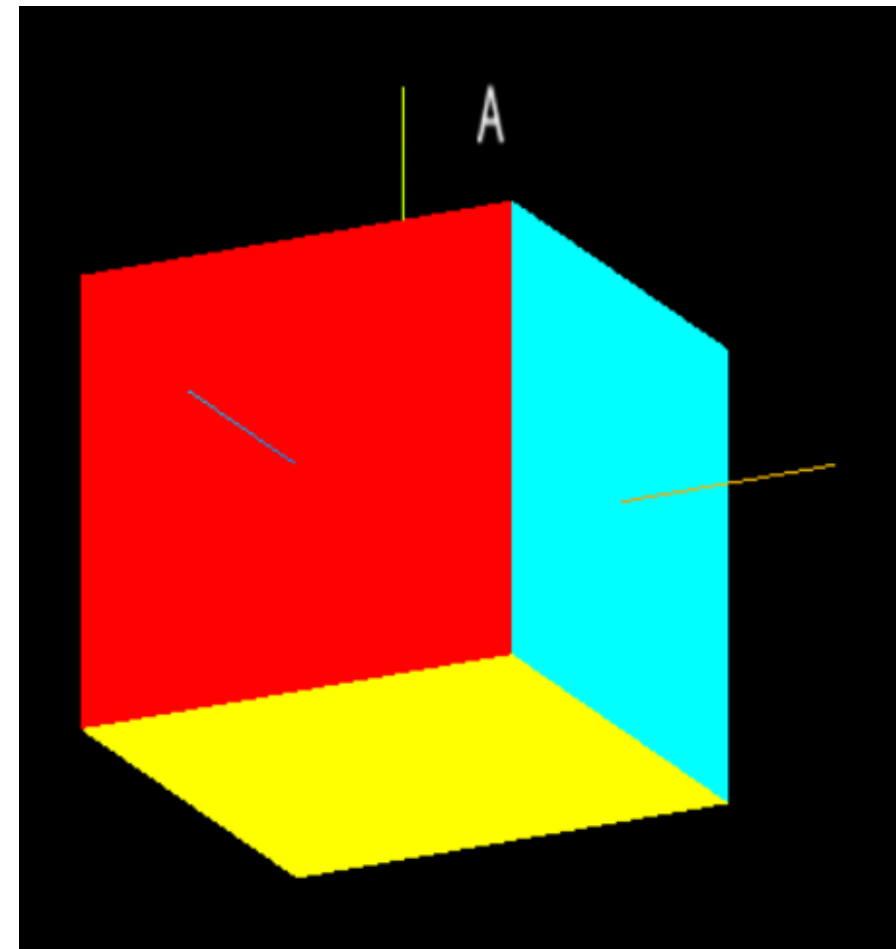
Was ergibt sich für die Projektionsmatrix?

$$\begin{pmatrix} \frac{2}{r-l} & 0 & 0 & -\frac{r+l}{r-l} \\ 0 & \frac{2}{t-b} & 0 & -\frac{t+b}{t-b} \\ 0 & 0 & \frac{-2}{f-n} & -\frac{f+n}{f-n} \\ 0 & 0 & 0 & 1 \end{pmatrix}$$

```
const left = -1;
const right = 1;
const top = 1;
const bottom = -1;
const near = 1;
const far = 4;

cam.rotation.set(0, 0, 0);
cam.position.x = 0;
cam.position.y = 0;
cam.position.z = 3;
```

$$P = \begin{bmatrix} 1 & 0 & 0 & 0 \\ 0 & 1 & 0 & 0 \\ 0 & 0 & -\frac{2}{3} & -\frac{5}{3} \\ 0 & 0 & 0 & 1 \end{bmatrix}$$



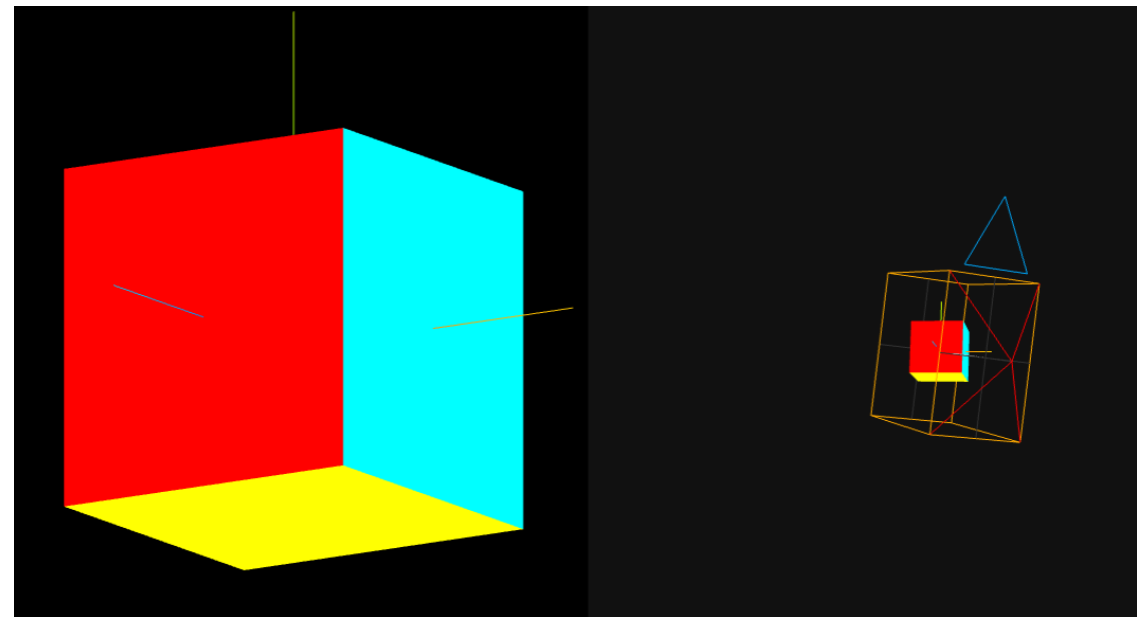
# Orthografische Projektion in three.js

Wo landet die Ecke eines Würfels auf dem Bildschirm?

$$A = \begin{pmatrix} 1 \\ \frac{1}{2} \\ 1 \\ \frac{1}{2} \\ 1 \\ -3 \\ 1 \end{pmatrix}, P = \begin{bmatrix} 1 & 0 & 0 & 0 \\ 0 & 1 & 0 & 0 \\ 0 & 0 & -\frac{2}{3} & -\frac{5}{3} \\ 0 & 0 & 0 & 1 \end{bmatrix}$$

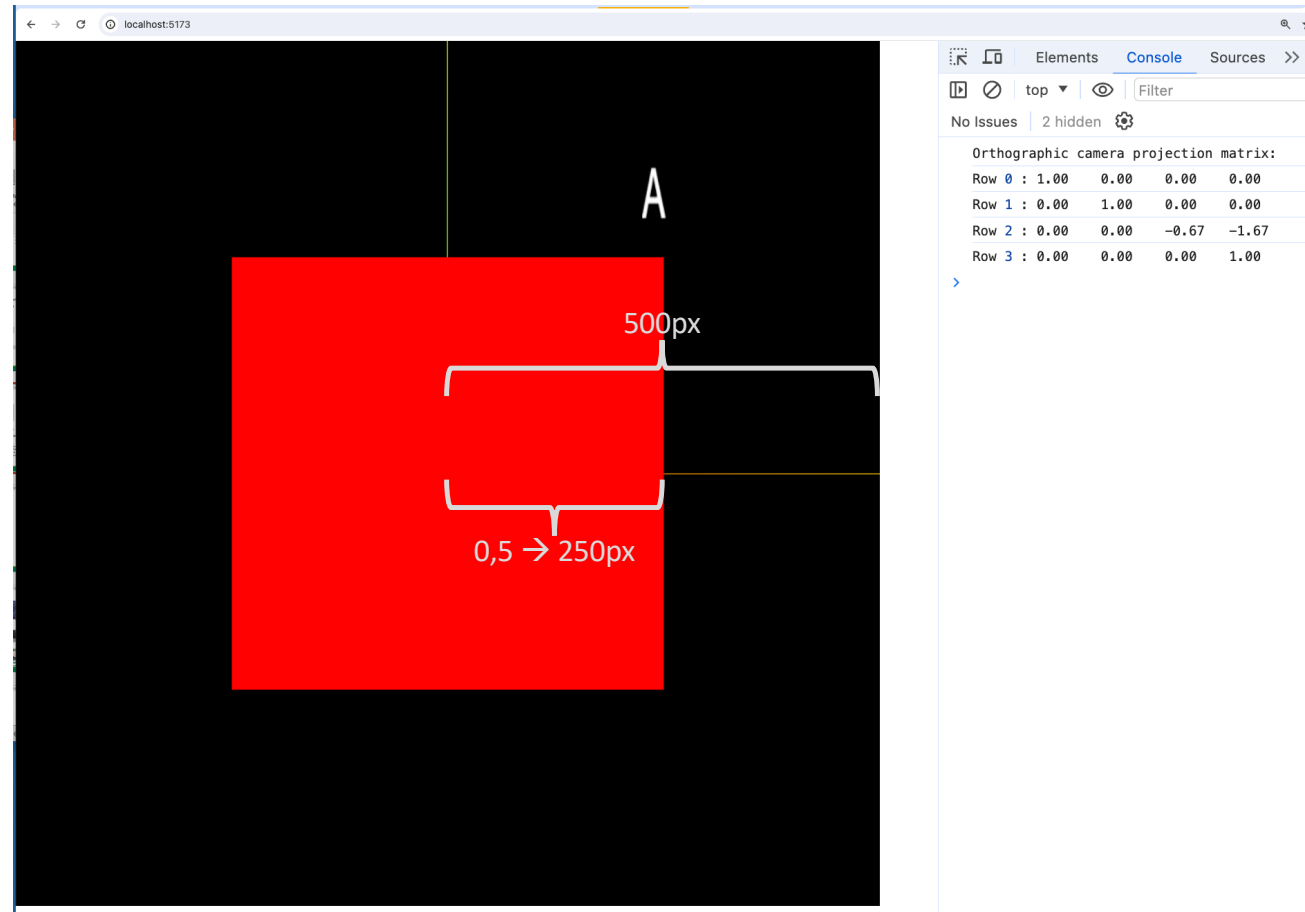
Der Würfel ist um drei Einheiten in z-Richtung relativ zur Kamera verschoben.

$$A_{ortho} = PA = \begin{pmatrix} 1 \\ \frac{1}{2} \\ 1 \\ \frac{1}{2} \\ 0 \\ 0 \\ 1 \end{pmatrix}$$



# Orthografische Projektion des Eckpunkts A

$$A_{ortho} = \begin{pmatrix} 1 \\ \frac{1}{2} \\ 2 \\ 1 \\ 0 \\ 1 \end{pmatrix}$$



Im Bild ist  $A_{ortho}$  bei  $\begin{pmatrix} 1 \\ \frac{1}{2} \\ 1 \\ \frac{1}{2} \\ 0 \\ 1 \end{pmatrix}$ , wenn man das Koordinatensystem in der Mitte nimmt.

# Orthografische Projektion des Eckpunkts A

$$A_{ortho} = \begin{pmatrix} 1 \\ \frac{1}{2} \\ 2 \\ 1 \\ \frac{1}{2} \\ 2 \\ 0 \\ 1 \end{pmatrix}$$

Orthographic camera projection matrix:

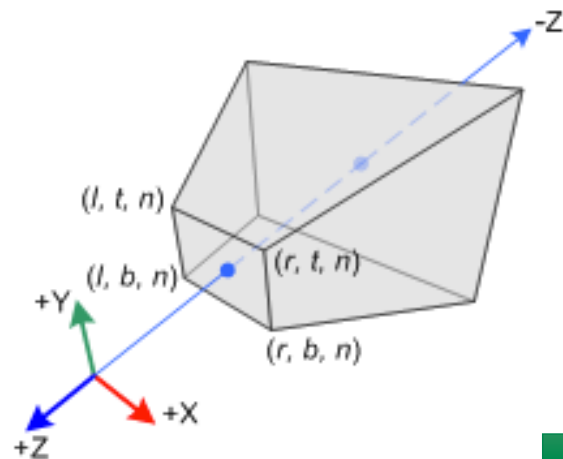
Row 0	: 1.00	0.00	0.00	0.00
Row 1	: 0.00	1.00	0.00	0.00
Row 2	: 0.00	0.00	-0.67	-1.67
Row 3	: 0.00	0.00	0.00	1.00

Der Z-Wert wird verwendet um zu überprüfen ob der Punkt im Clippingraum  $[-1,1]$  liegt und zur Sortierung sich überdeckender Punkte bzw. Flächen.

# Perspektivische Projektion

Illustrationen von [Song Ho Ahn](#)

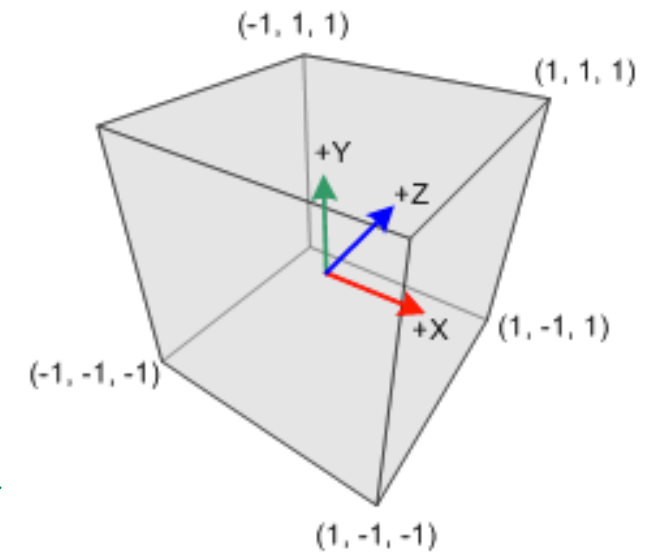
## Kamera-Koordinaten



$$\begin{pmatrix} \frac{2n}{r-l} & 0 & \frac{r+l}{r-l} & 0 \\ 0 & \frac{2n}{t-b} & \frac{t+b}{t-b} & 0 \\ 0 & 0 & \frac{-(f+n)}{f-n} & \frac{-2fn}{f-n} \\ 0 & 0 & -1 & 0 \end{pmatrix}$$

## Projektionsmatrix

## Clip-Koordinaten

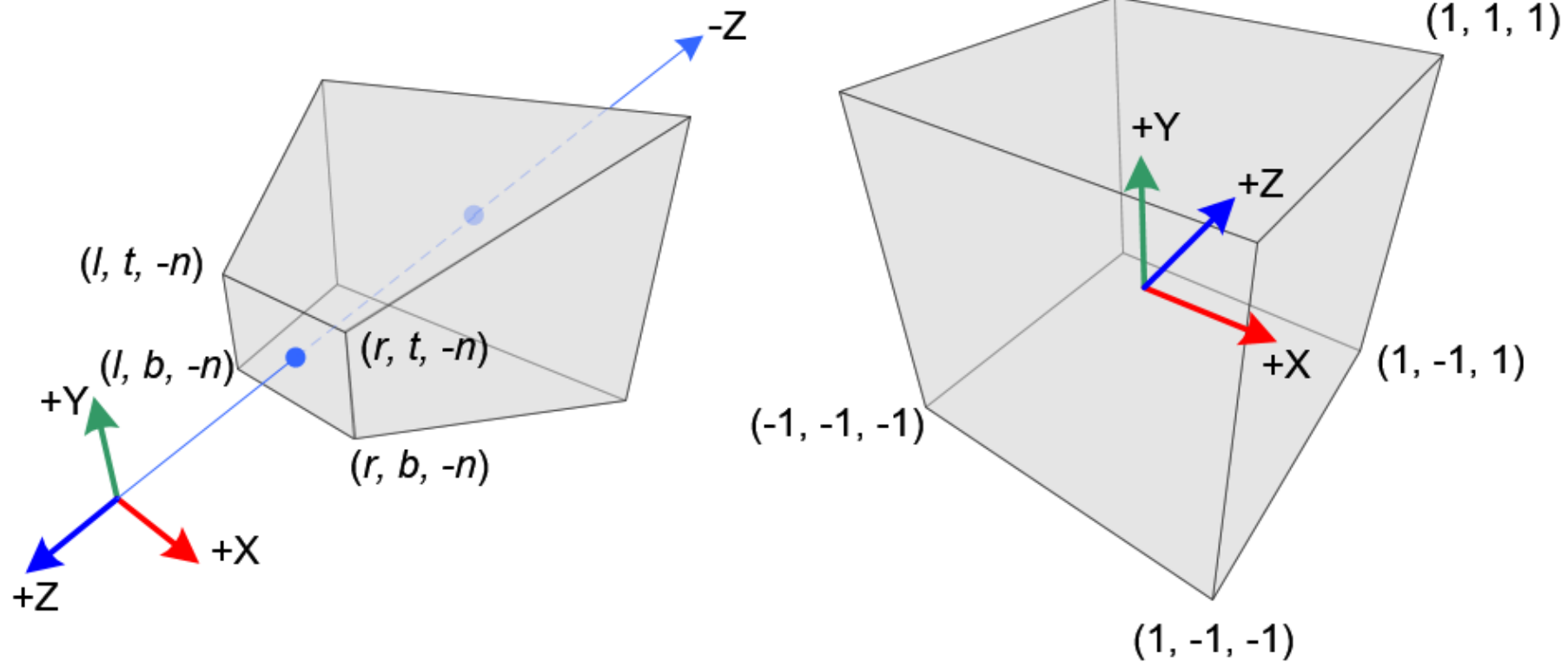


Im Code (hier three.js):

```
var camera = new THREE.PerspectiveCamera(fovy,  
aspect, near, far);
```

# Perspektivische Projektion - Herleitung

Wir müssen einen Pyramidenstumpf (Frustum) in einen Würfel überführen:

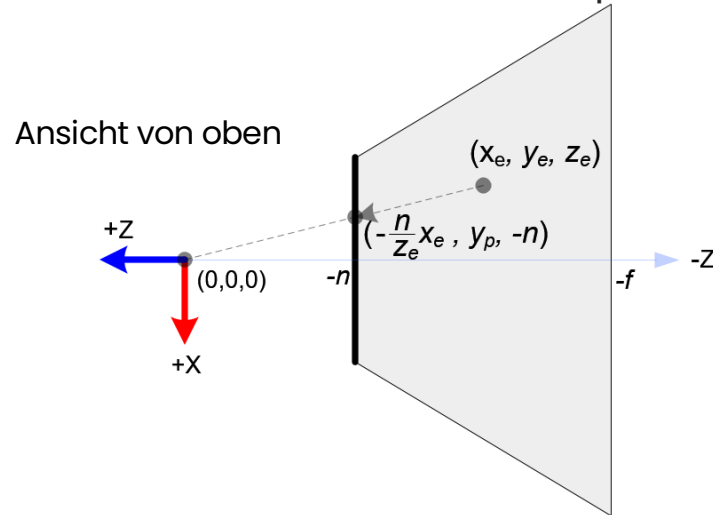


Also die Komponenten  $x_e, y_e, z_e$  (eye/camera space, links) in  $x_n, y_n, z_n$  (normalized clip space, rechts).

Illustrationen und Formeln von [Song Ho Ahn](#)

# Perspektivische Projektion - Herleitung

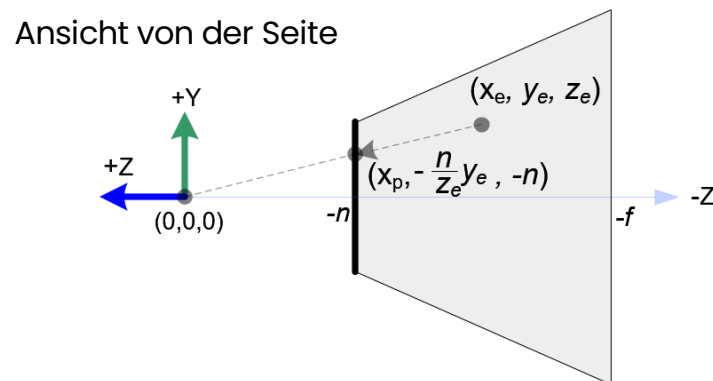
Mapping von  $x_e$  nach  $x_p$ , also auf die  $z_p = -n$  Ebene (near plane)



$$\frac{x_p}{x_e} = \frac{-n}{z_e}$$

$$x_p = \frac{-n \cdot x_e}{z_e} = \frac{n \cdot x_e}{-z_e}$$

Mapping von  $y_e$  nach  $y_p$ , also auf die  $z_p = -n$  Ebene (near plane)



$$\frac{y_p}{y_e} = \frac{-n}{z_e}$$

$$y_p = \frac{-n \cdot y_e}{z_e} = \frac{n \cdot y_e}{-z_e}$$

Illustrationen und Formeln von [Song Ho Ahn](#)

# Perspektivische Projektion – Herleitung

Man beachte, dass sowohl  $x_p$  als auch  $y_p$  von  $z_e$  abhängen. Sie sind invers proportional zu  $-z_e$ . Anders ausgedrückt: sie wurden beide jeweils durch  $-z_e$  geteilt.

Der Clip-space ist auch ein homogener (4D) Raum. Es wird also am Ende durch die  $w_c$  Komponente geteilt. Dies nutzen wir aus und setzen:

$$w_c = -z_e$$

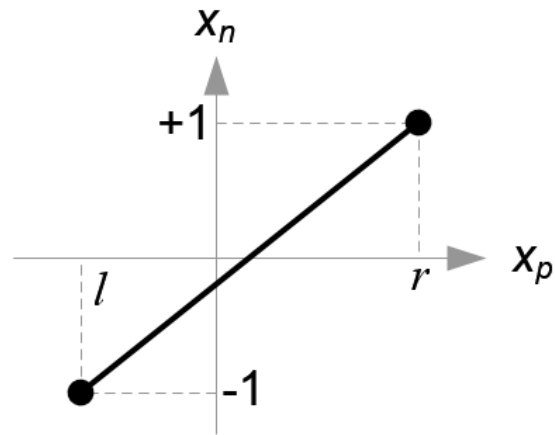
$$\begin{pmatrix} x_c \\ y_c \\ z_c \\ w_c \end{pmatrix} = \begin{pmatrix} x_e \\ y_e \\ z_e \\ -z_e \end{pmatrix} = \begin{bmatrix} ? & ? & ? & ? \\ ? & ? & ? & ? \\ ? & ? & ? & ? \\ 0 & 0 & -1 & 0 \end{bmatrix} \begin{pmatrix} x_e \\ y_e \\ z_e \\ w_e \end{pmatrix}$$

$$P_{persp} = \begin{bmatrix} ? & ? & ? & ? \\ ? & ? & ? & ? \\ ? & ? & ? & ? \\ 0 & 0 & -1 & 0 \end{bmatrix}$$

Illustrationen und Formeln von [Song Ho Ahn](#)

# Perspektivische Projektion - Herleitung

Mapping von  $x_p$  nach  $x_n$ :



$$x_n = \frac{1 - (-1)}{r - l} \cdot x_p + \beta$$

$$1 = \frac{2r}{r - l} + \beta \quad (\text{substitute } (r, 1) \text{ for } (x_p, x_n))$$

$$\begin{aligned} \beta &= 1 - \frac{2r}{r - l} = \frac{r - l}{r - l} - \frac{2r}{r - l} \\ &= \frac{r - l - 2r}{r - l} = \frac{-r - l}{r - l} = -\frac{r + l}{r - l} \end{aligned}$$

$$\therefore x_n = \frac{2x_p}{r - l} - \frac{r + l}{r - l}$$

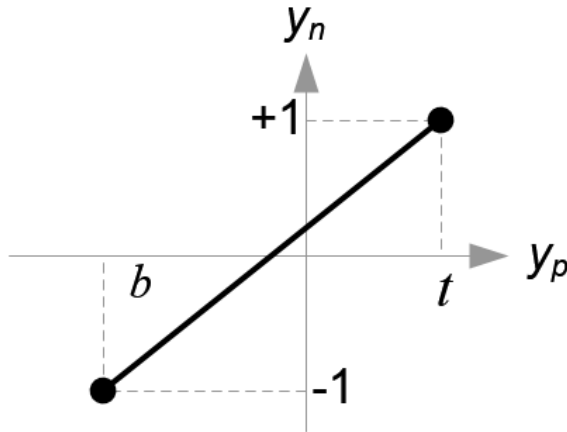
Dann für  $x_p$  Formel mit  $x_e$  einsetzen:

$$\begin{aligned} x_n &= \frac{2x_p}{r - l} - \frac{r + l}{r - l} \quad \left(x_p = \frac{nx_e}{-z_e}\right) \\ &= \frac{2 \cdot \frac{n \cdot x_e}{-z_e}}{r - l} - \frac{r + l}{r - l} \\ &= \frac{2n \cdot x_e}{(r - l)(-z_e)} - \frac{r + l}{r - l} \\ &= \frac{\frac{2n}{r - l} \cdot x_e}{-z_e} - \frac{r + l}{r - l} \\ &= \frac{\frac{2n}{r - l} \cdot x_e}{-z_e} + \frac{\frac{r + l}{r - l} \cdot z_e}{-z_e} \\ &= \left( \underbrace{\frac{2n}{r - l} \cdot x_e + \frac{r + l}{r - l} \cdot z_e}_{x_c} \right) / -z_e \end{aligned}$$

Illustrationen und Formeln von [Song Ho Ahn](#)

# Perspektivische Projektion - Herleitung

Mapping von  $y_p$  nach  $y_n$ :



$$y_n = \frac{1 - (-1)}{t - b} \cdot y_p + \beta$$

$$1 = \frac{2t}{t - b} + \beta \quad (\text{substitute } (t, 1) \text{ for } (y_p, y_n))$$

$$\begin{aligned} \beta &= 1 - \frac{2t}{t - b} = \frac{t - b}{t - b} - \frac{2t}{t - b} \\ &= \frac{t - b - 2t}{t - b} = \frac{-t - b}{t - b} = -\frac{t + b}{t - b} \end{aligned}$$

$$\therefore y_n = \frac{2y_p}{t - b} - \frac{t + b}{t - b}$$

Dann für  $y_p$  Formel mit  $y_e$  einsetzen:

$$\begin{aligned} y_n &= \frac{2y_p}{t - b} - \frac{t + b}{t - b} \quad (y_p = \frac{ny_e}{-z_e}) \\ &= \frac{2 \cdot \frac{n \cdot y_e}{-z_e}}{t - b} - \frac{t + b}{t - b} \\ &= \frac{2n \cdot y_e}{(t - b)(-z_e)} - \frac{t + b}{t - b} \\ &= \frac{2n}{t - b} \cdot \frac{y_e}{-z_e} - \frac{t + b}{t - b} \\ &= \frac{2n}{t - b} \cdot y_e + \frac{t + b}{t - b} \cdot \frac{z_e}{-z_e} \\ &= \underbrace{\left( \frac{2n}{t - b} \cdot y_e + \frac{t + b}{t - b} \cdot z_e \right)}_{y_c} / -z_e \end{aligned}$$

Illustrationen und Formeln von [Song Ho Ahn](#)

# Perspektivische Projektion - Herleitung

Aus den Ergebnissen lassen sich zwei weitere Zeilen der Projektionsmatrix aufstellen:

$$= \underbrace{\left( \frac{2n}{r-l} \cdot x_e + \frac{r+l}{r-l} \cdot z_e \right)}_{x_c} / -z_e \qquad = \underbrace{\left( \frac{2n}{t-b} \cdot y_e + \frac{t+b}{t-b} \cdot z_e \right)}_{y_c} / -z_e$$

$$P_{persp} = \begin{bmatrix} \frac{2n}{r-l} & 0 & \frac{r+l}{r-l} & 0 \\ 0 & \frac{2n}{t-b} & \frac{t+b}{t-b} & 0 \\ ? & ? & ? & ? \\ 0 & 0 & -1 & 0 \end{bmatrix}$$

Illustrationen und Formeln von [Song Ho Ahn](#)

# Perspektivische Projektion – Herleitung

Die Suche nach  $z_n$  unterscheidet sich ein wenig von den anderen, da  $z_e$  im Kamerakoordinatensystem immer auf die  $z = -n$  Eben (near plane) projiziert wird.

Wir benötigen aber einen eindeutigen  $z$ -Wert für das Clipping und den Tiefenvergleich. Außerdem sollten wir in der Lage sein, ihn zurück zu projizieren (invers zu transformieren).

Da wir wissen, dass  $z$  nicht vom  $x$ - oder  $y$ -Wert abhängt, nehmen wir die  $w$ -Komponente, um die Beziehung zwischen  $z_n$  und  $z_e$  zu finden. Daher können wir die 3. Zeile der Projektionsmatrix wie folgt angeben:

$$P_{persp} = \begin{bmatrix} \frac{2n}{r-l} & 0 & \frac{r+l}{r-l} & 0 \\ 0 & \frac{2n}{t-b} & \frac{t+b}{t-b} & 0 \\ 0 & 0 & A & B \\ 0 & 0 & -1 & 0 \end{bmatrix} \quad z_n = z_c/w_c = \frac{Az_e + Bw_e}{-z_e}$$

Illustrationen und Formeln von [Song Ho Ahn](#)

# Perspektivische Projektion - Herleitung

Im Kamerakoordinatensystem (eye space) gilt  $w_e=1$ . Daher gilt:

$$z_n = \frac{Az_e + B}{-z_e}$$

Um die Koeffizienten A und B zu ermitteln, verwenden wir die Beziehung von  $z_e$  zu  $z_n$  für  $(-n, -1)$  und  $(-f, 1)$ . Wir setzen sie in die obige Gleichung ein.

$$\begin{cases} \frac{-An + B}{n} = -1 \\ \frac{-Af + B}{f} = 1 \end{cases} \rightarrow \begin{cases} -An + B = -n & (1) \\ -Af + B = f & (2) \end{cases}$$

Illustrationen und Formeln von [Song Ho Ahn](#)

# Perspektivische Projektion – Herleitung

To solve the equations for  $A$  and  $B$ , rewrite eq.(1) for  $B$ ;

$$B = An - n \quad (1')$$

Substitute eq.(1') to  $B$  in eq.(2), then solve for  $A$ ;

$$-Af + (An - n) = f \quad (2)$$

$$-(f - n)A = f + n$$

$$A = -\frac{f + n}{f - n}$$

Put  $A$  into eq.(1) to find  $B$ ;

$$\left(\frac{f + n}{f - n}\right)n + B = -n \quad (1)$$

$$\begin{aligned} B &= -n - \left(\frac{f + n}{f - n}\right)n = -\left(1 + \frac{f + n}{f - n}\right)n = -\left(\frac{f - n + f + n}{f - n}\right)n \\ &= -\frac{2fn}{f - n} \end{aligned}$$

Illustrationen und Formeln von [Song Ho Ahn](#)

# Perspektivische Projektion - Herleitung

We found A and B. Therefore, the relation between  $z_e$  and  $z_n$  becomes;

$$z_n = \frac{-\frac{f+n}{f-n}z_e - \frac{2fn}{f-n}}{-z_e} \quad (3)$$

$$P_{persp} = \begin{bmatrix} \frac{2n}{r-l} & 0 & \frac{r+l}{r-l} & 0 \\ 0 & \frac{2n}{t-b} & \frac{t+b}{t-b} & 0 \\ 0 & 0 & \frac{-(f+n)}{f-n} & \frac{-2fn}{f-n} \\ 0 & 0 & -1 & 0 \end{bmatrix}$$

Illustrationen und Formeln von [Song Ho Ahn](#)

# Perspektivische Projektion in three.js

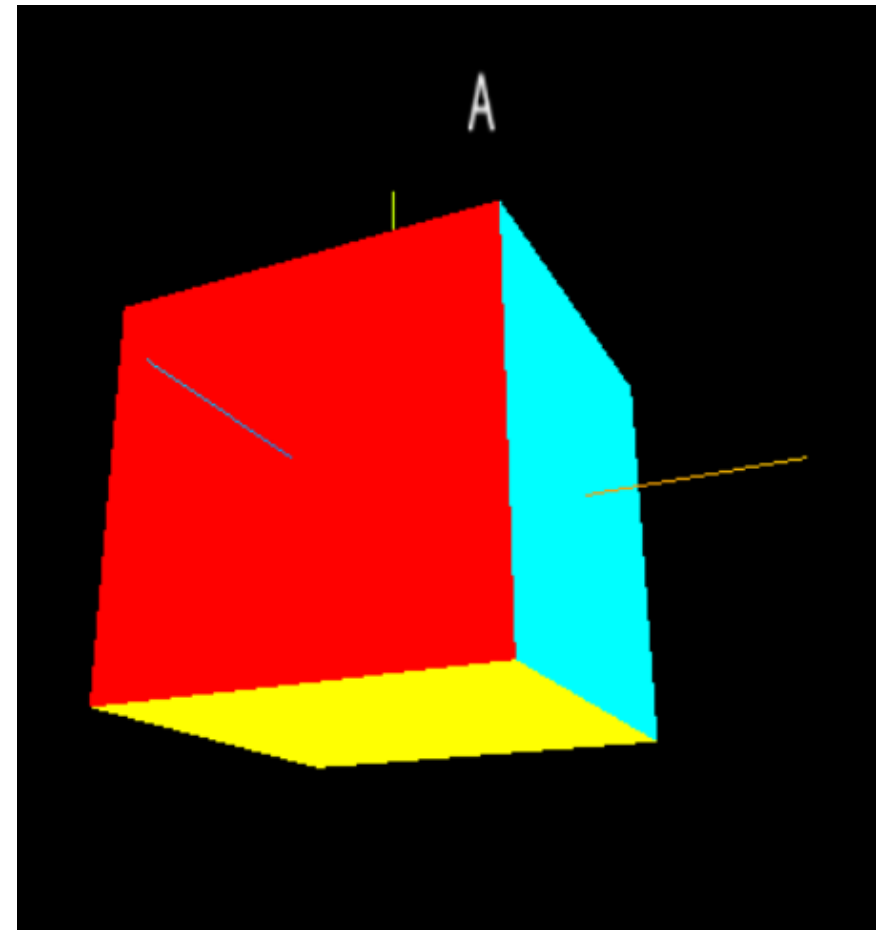
Was ergibt sich für die Projektionsmatrix?

$$\begin{pmatrix} \frac{2n}{r-l} & 0 & \frac{r+l}{r-l} & 0 \\ 0 & \frac{2n}{t-b} & \frac{t+b}{t-b} & 0 \\ 0 & 0 & \frac{-(f+n)}{f-n} & \frac{-2fn}{f-n} \\ 0 & 0 & -1 & 0 \end{pmatrix}$$

```
const left = -1;
const right = 1;
const top = 1;
const bottom = -1;
const near = 1;
const far = 4;
```

```
cam.rotation.set(0, 0, 0);
cam.position.x = 0;
cam.position.y = 0;
cam.position.z = 3;
```

$$P = \begin{bmatrix} 1 & 0 & 0 & 0 \\ 0 & 1 & 0 & 0 \\ 0 & 0 & -\frac{5}{3} & -\frac{8}{3} \\ 0 & 0 & -1 & 0 \end{bmatrix}$$



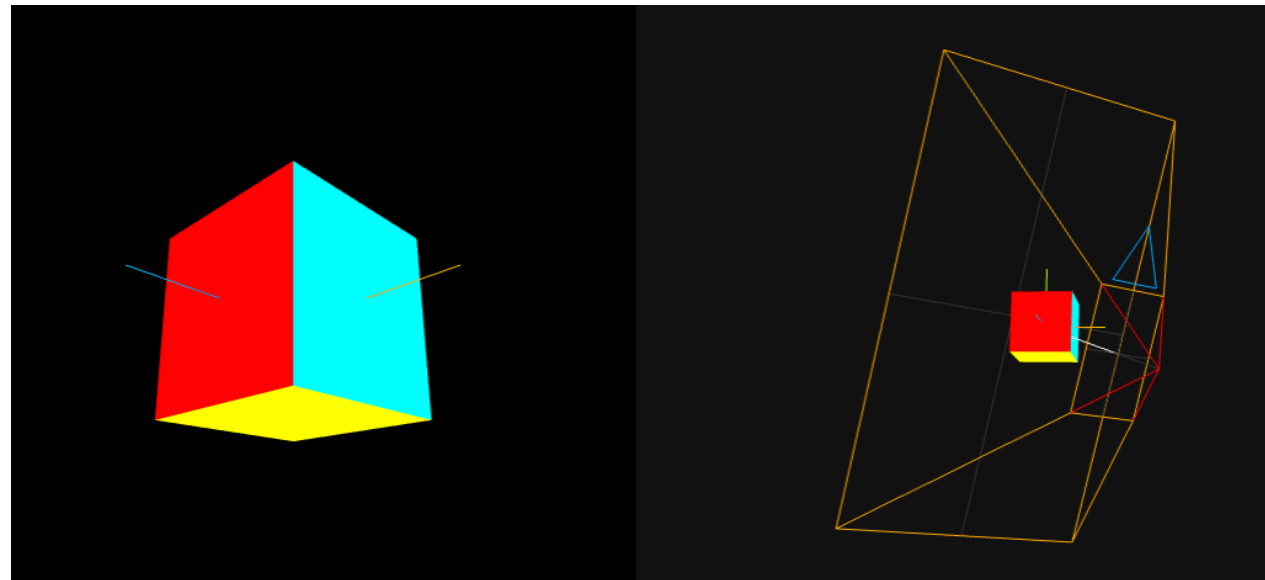
# Perspektivische Projektion in three.js

Wo landet die Ecke eines Würfels auf dem Bildschirm?

$$A = \begin{pmatrix} \frac{1}{2} \\ \frac{1}{2} \\ \frac{1}{2} \\ -3 \\ 1 \end{pmatrix}, \quad P = \begin{bmatrix} 1 & 0 & 0 & 0 \\ 0 & 1 & 0 & 0 \\ 0 & 0 & -\frac{5}{3} & -\frac{8}{3} \\ 0 & 0 & -1 & 0 \end{bmatrix}$$

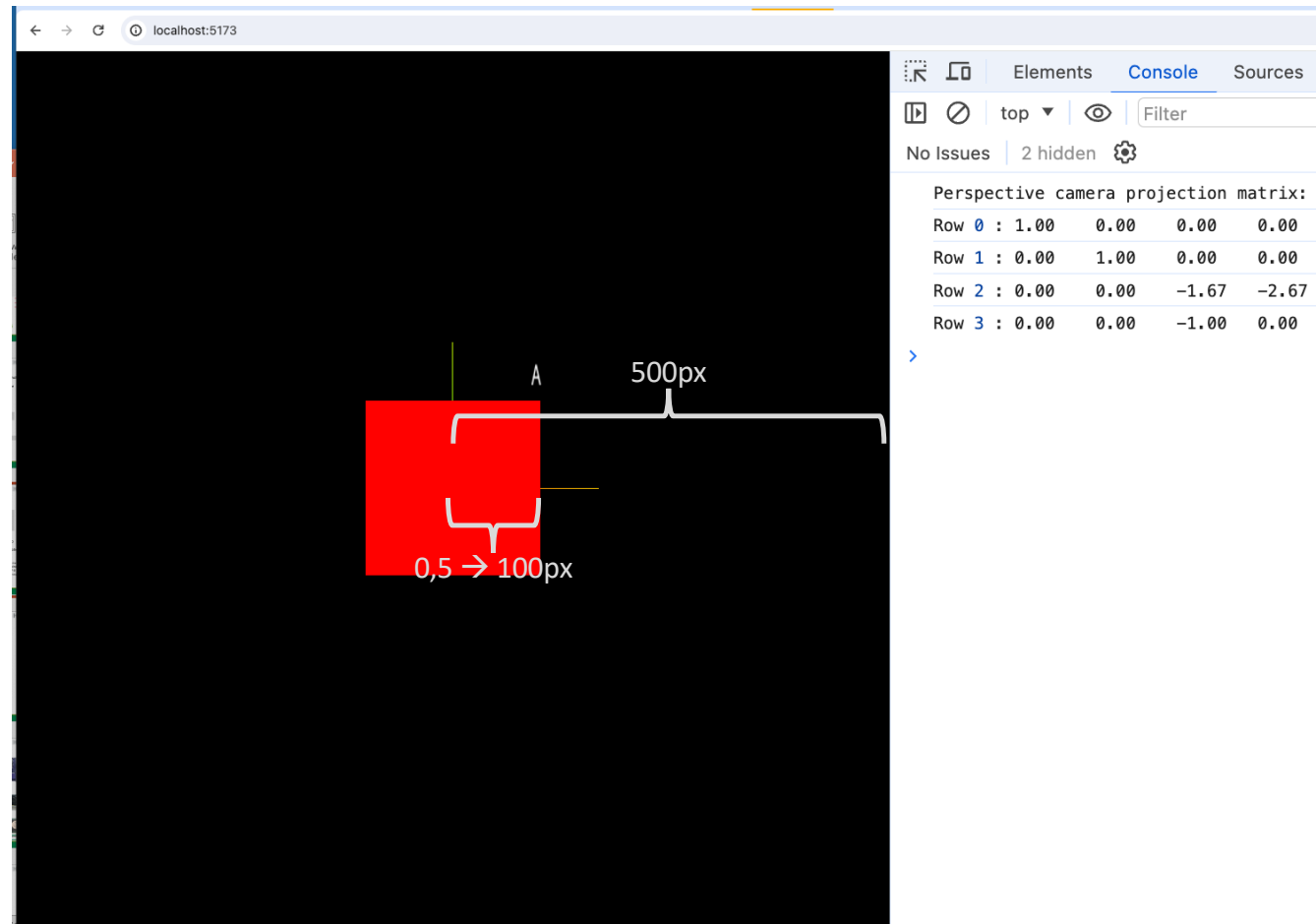
Der Würfel ist um drei Einheiten in z-Richtung relativ zur Kamera verschoben.

$$A_{persp} = PA = \begin{pmatrix} \frac{1}{2} \\ \frac{1}{2} \\ \frac{1}{2} \\ 3 \\ -2 \\ 5 \\ -2 \end{pmatrix}$$



# Perspektivische Projektion des Eckpunkts A

$$A_{persp} = \begin{pmatrix} 1 \\ 2 \\ 1 \\ 2 \\ 3 \\ 2 \\ 2 \\ 5 \\ -2 \end{pmatrix} !?$$

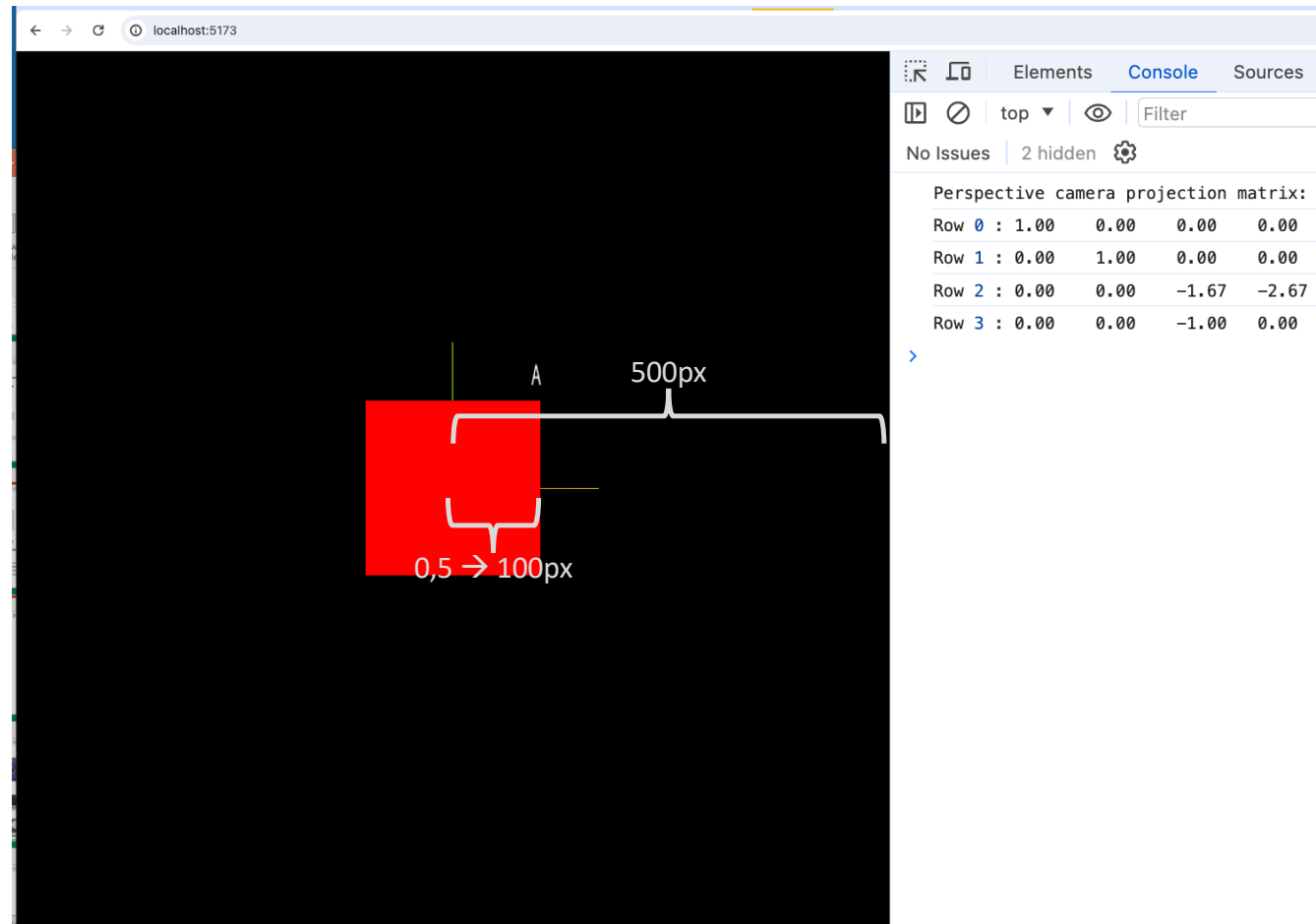


Im Bild ist  $A_{persp}$  bei  $\begin{pmatrix} 1 \\ 5 \\ 1 \\ -5 \end{pmatrix}$ , wenn man das Koordinatensystem in der Mitte nimmt.

Wieso!?

# Perspektivische Projektion des Eckpunkts A

$$A_{persp} = \begin{pmatrix} 1 \\ 2 \\ 1 \\ 2 \\ 3 \\ 2 \\ 5 \\ 2 \end{pmatrix}$$



Wir teilen durch die homogene Koordinate:

$$w = \frac{5}{2}$$

# Perspektivische Projektion des Eckpunkts A

$$A_{persp} = \begin{pmatrix} 1 \\ 5 \\ 1 \\ 5 \\ 3 \\ 5 \\ 1 \end{pmatrix}$$

500px

0,5 → 100px

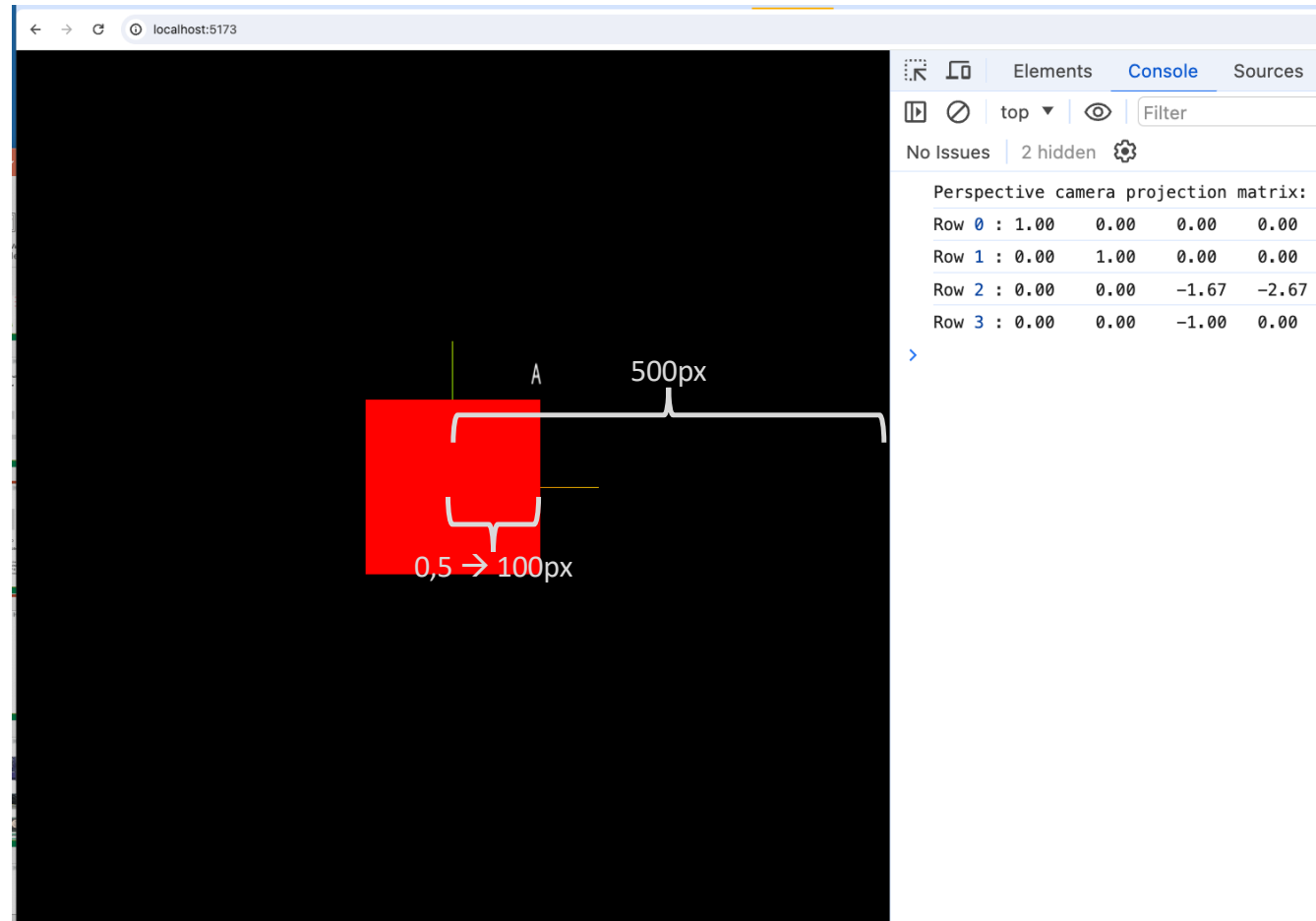
Perspective camera projection matrix:

Row 0	: 1.00	0.00	0.00	0.00
Row 1	: 0.00	1.00	0.00	0.00
Row 2	: 0.00	0.00	-1.67	-2.67
Row 3	: 0.00	0.00	-1.00	0.00

Wir teilen durch die homogene Koordinate:  
Für x und y:  $\frac{1}{2} / \frac{5}{2} = \frac{1}{2} \cdot \frac{2}{5} = \frac{1}{5}$

# Perspektivische Projektion des Eckpunkts A

$$A_{persp} = \begin{pmatrix} 1 \\ 5 \\ 1 \\ 5 \\ 3 \\ 5 \\ 1 \end{pmatrix}$$



Browser Console Output:

```

Perspective camera projection matrix:
Row 0 : 1.00  0.00  0.00  0.00
Row 1 : 0.00  1.00  0.00  0.00
Row 2 : 0.00  0.00 -1.67 -2.67
Row 3 : 0.00  0.00 -1.00  0.00
    
```

Der Z-Wert wird verwendet um zu überprüfen ob der Punkt im Clinspace  $[-1,1]$  liegt und zur Sortierung sich überdeckender Punkte bzw. Flächen.